

FIG. 1

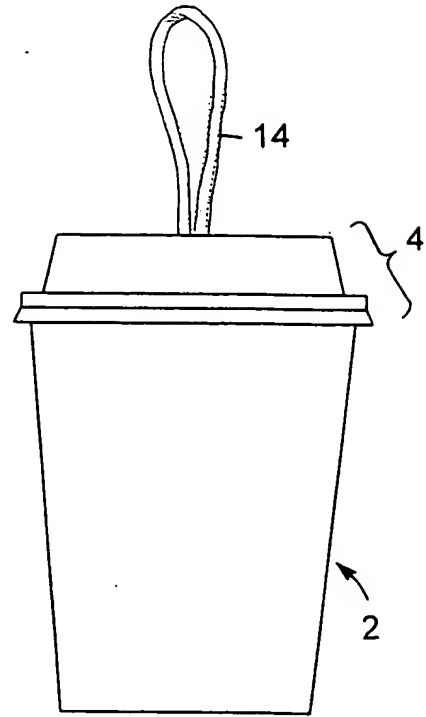


FIG. 2

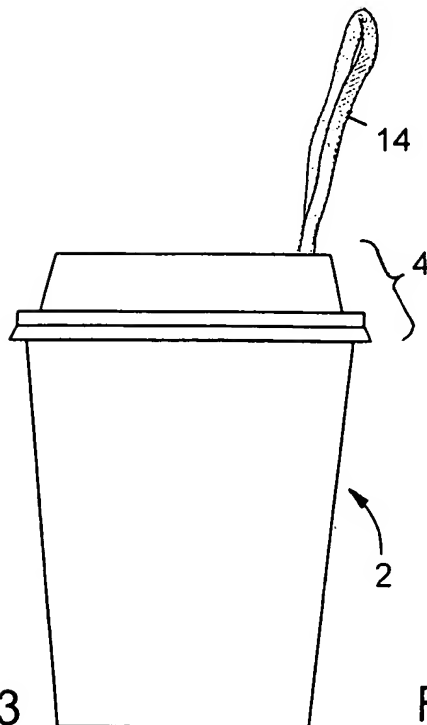


FIG. 3

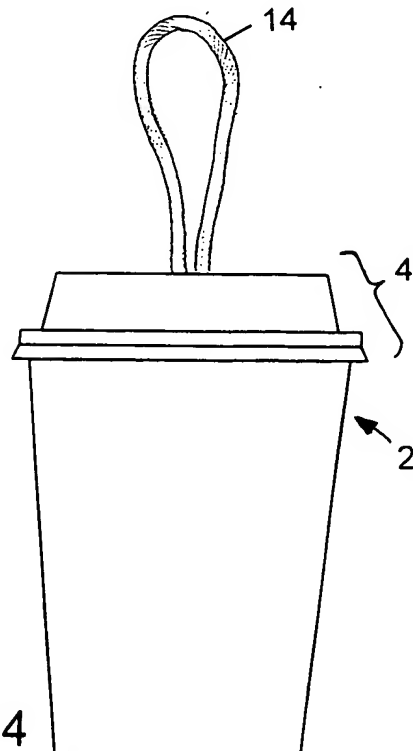


FIG. 4

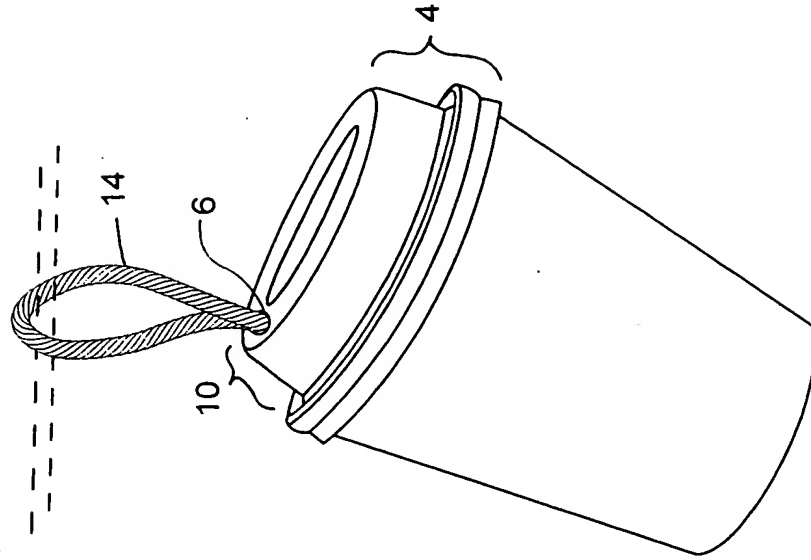


FIG. 7

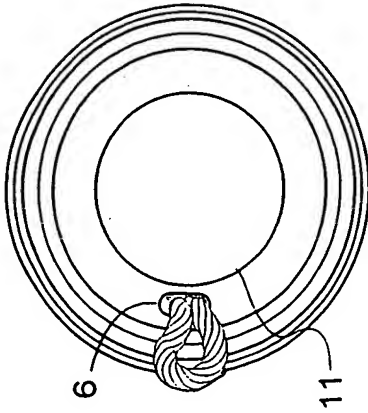


FIG. 5

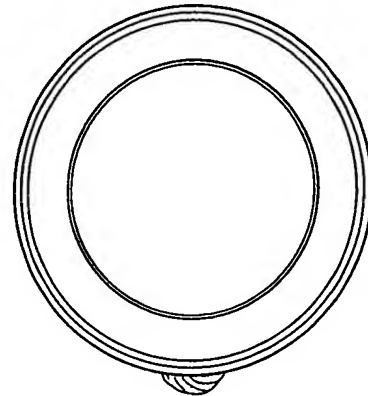


FIG. 6

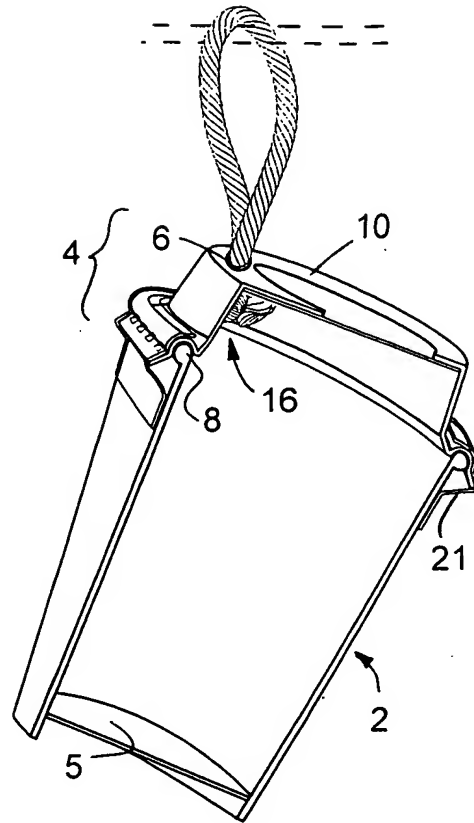


FIG. 8

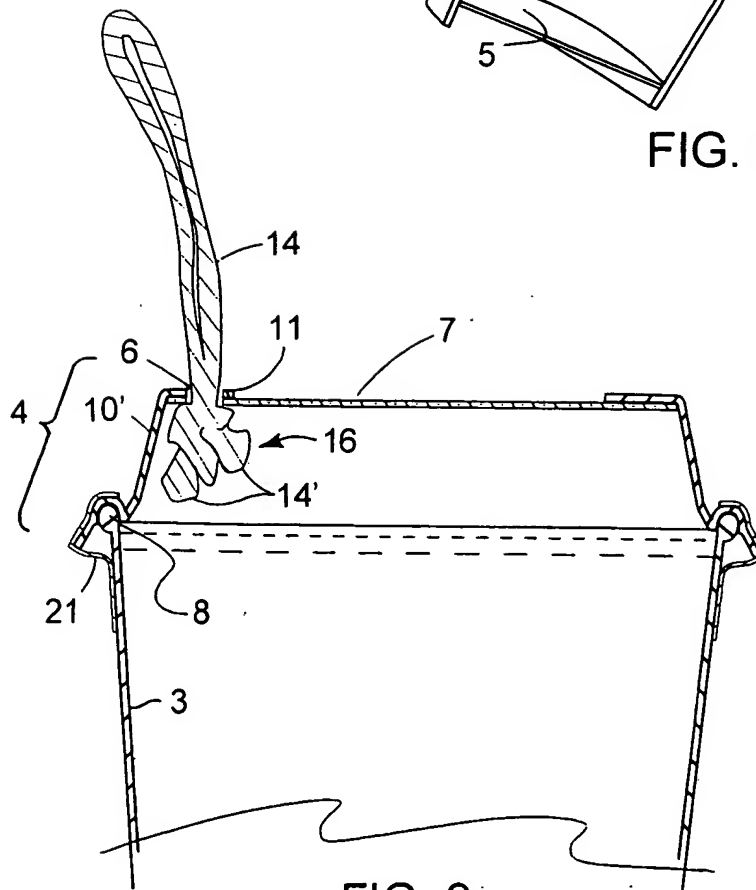


FIG. 9

Appln No.: 10/052,210  
 Applicant(s): Jeffrey T. Mainick et al.  
 SUSPENDED CONTAINERS

Page 4 of 47

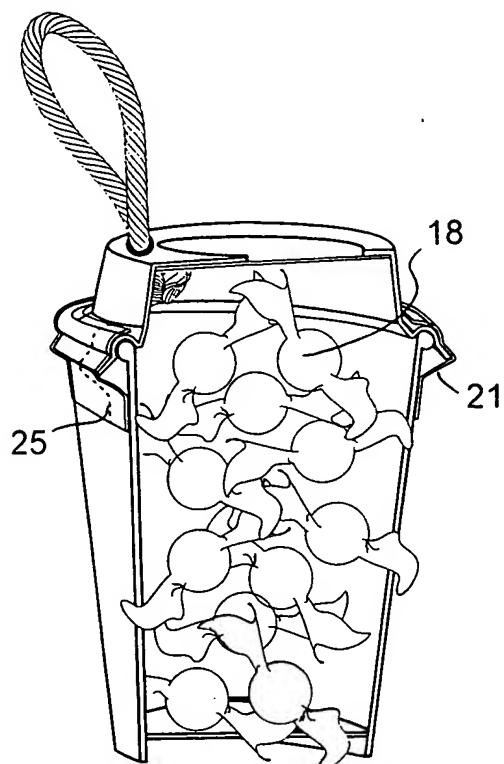


FIG. 11

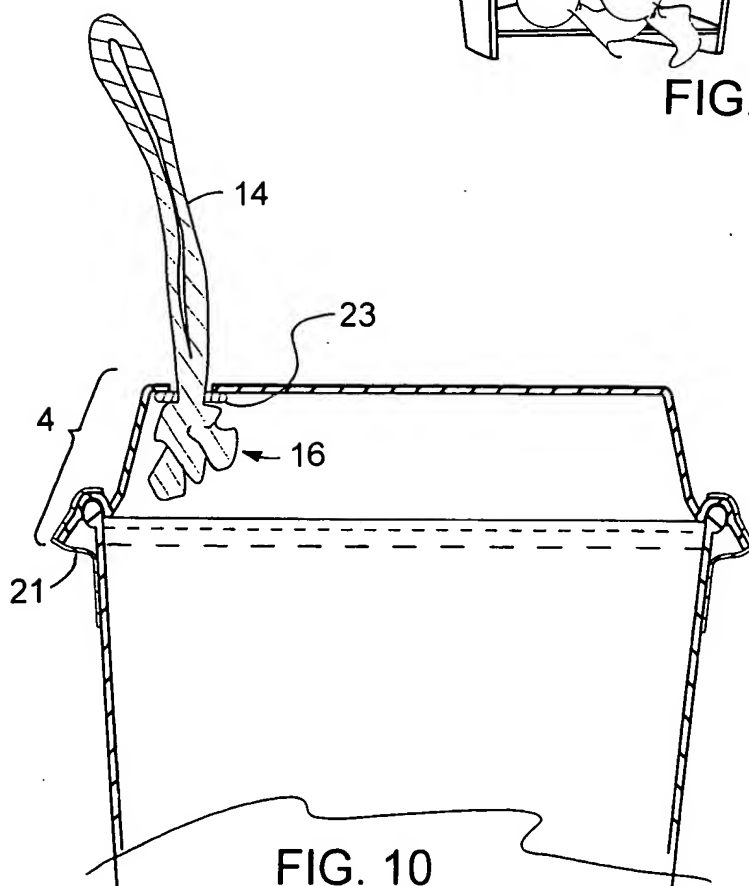


FIG. 10

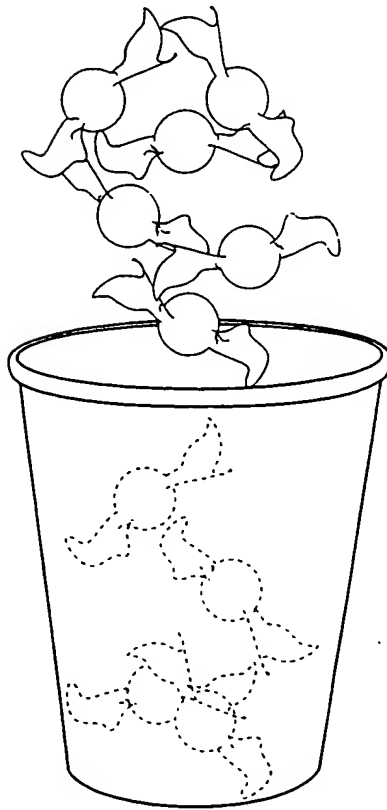


FIG. 12

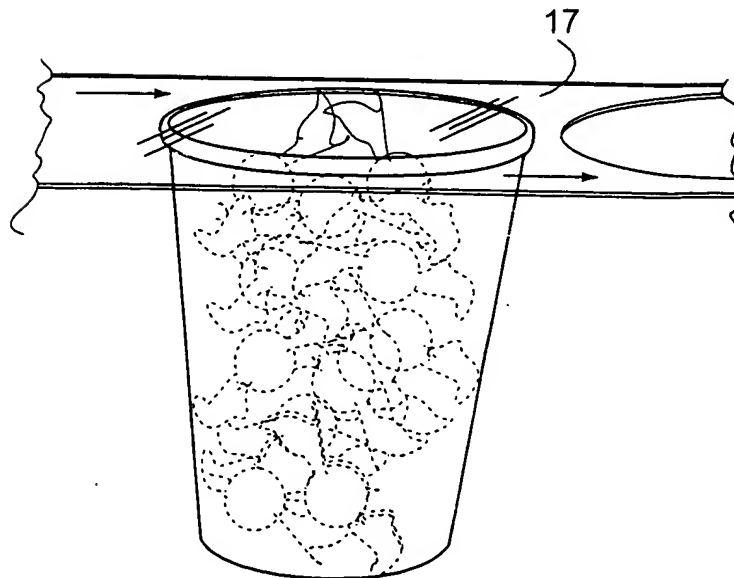


FIG. 12A

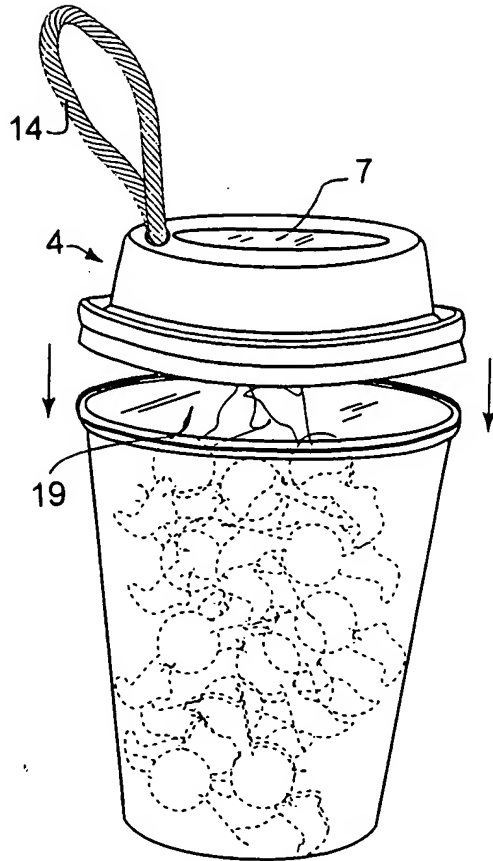


FIG. 12B

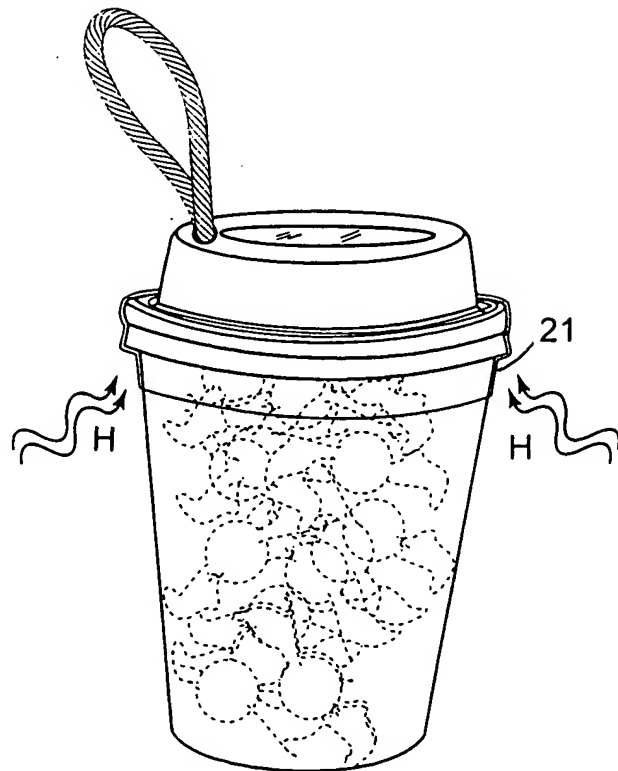


FIG. 12C

No.: 10/052,210  
Applicant(s): Jeffrey T. Mannion et al.  
SUSPENDED CONTAINERS

Page 1 of 47

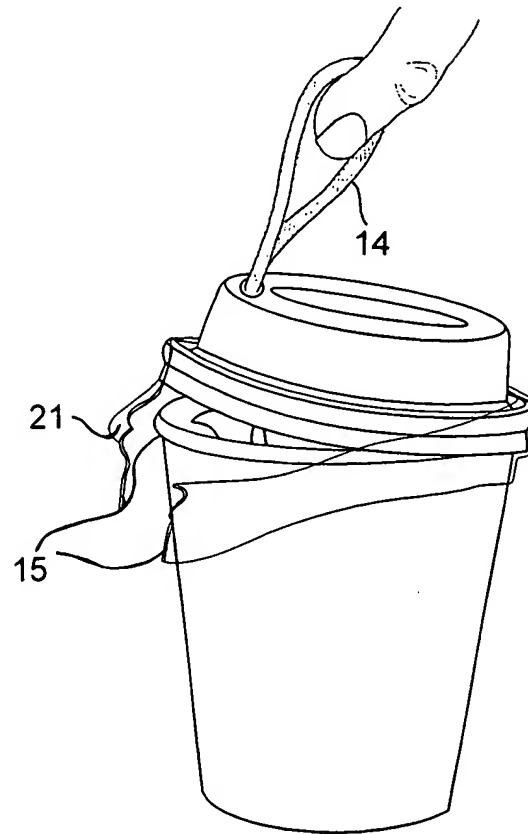


FIG. 12D

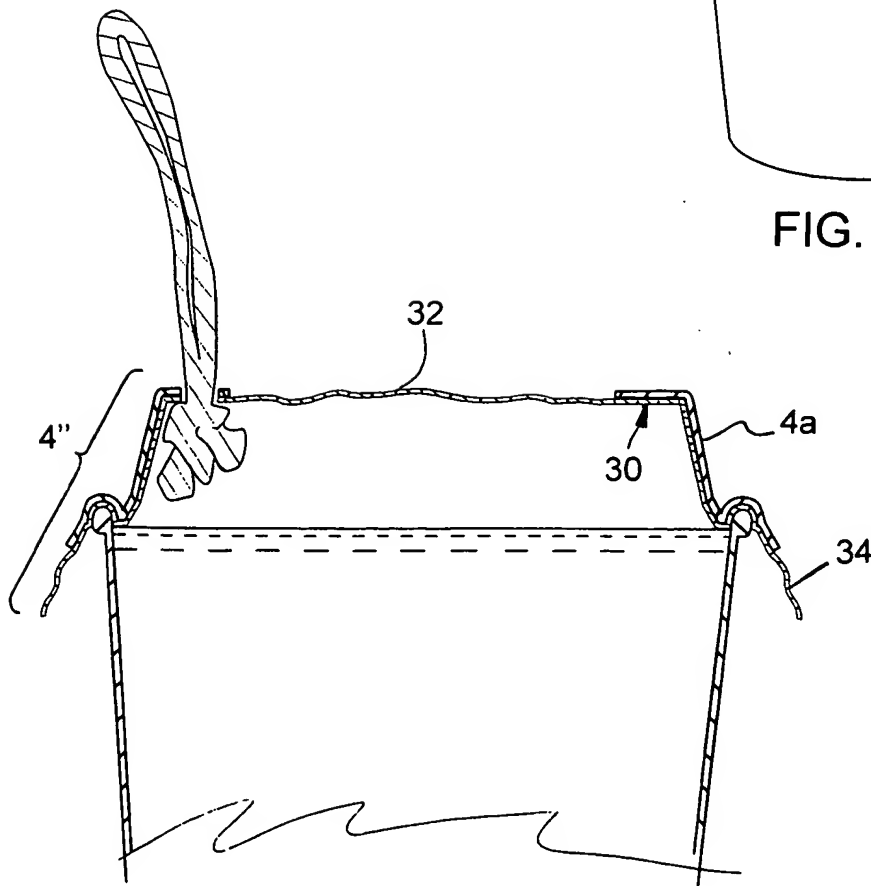


FIG. 13

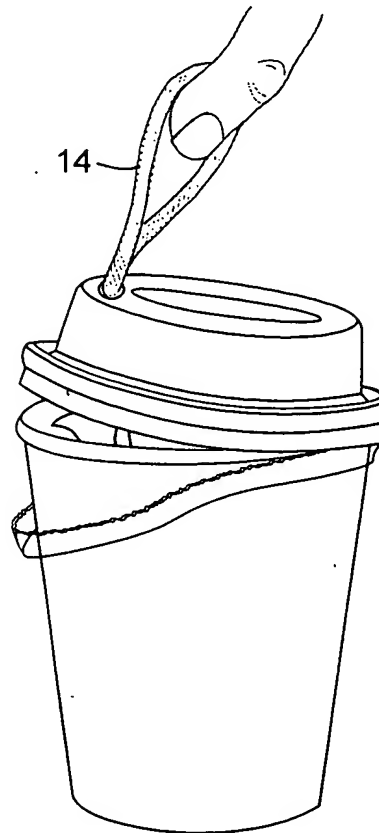


FIG. 13B

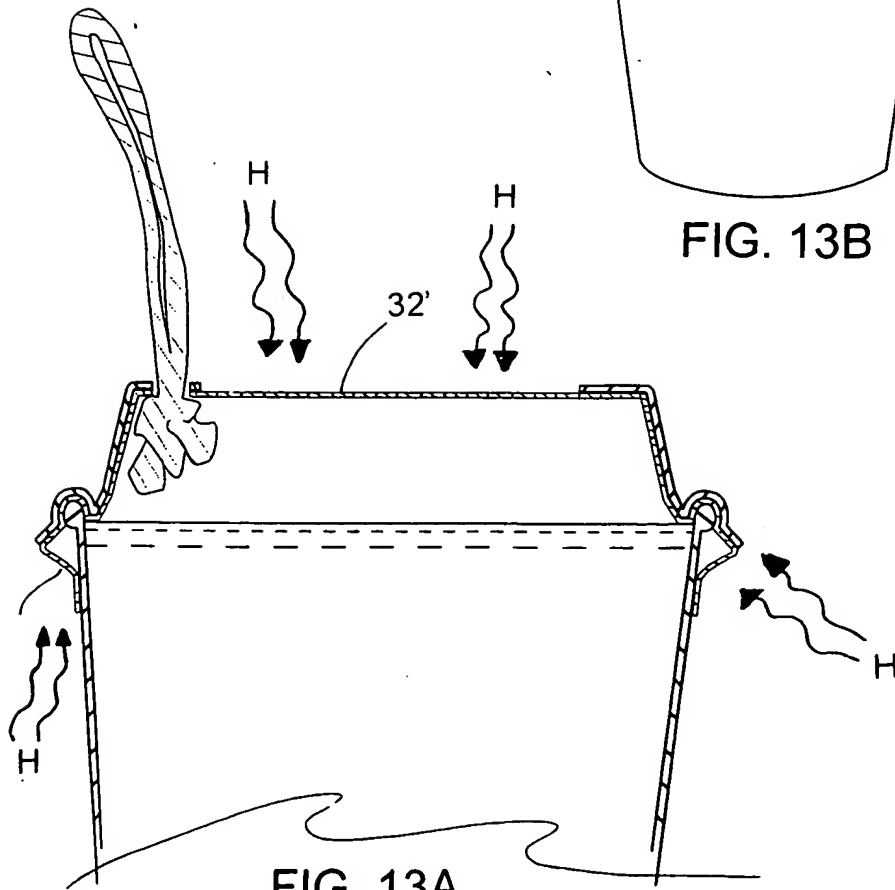
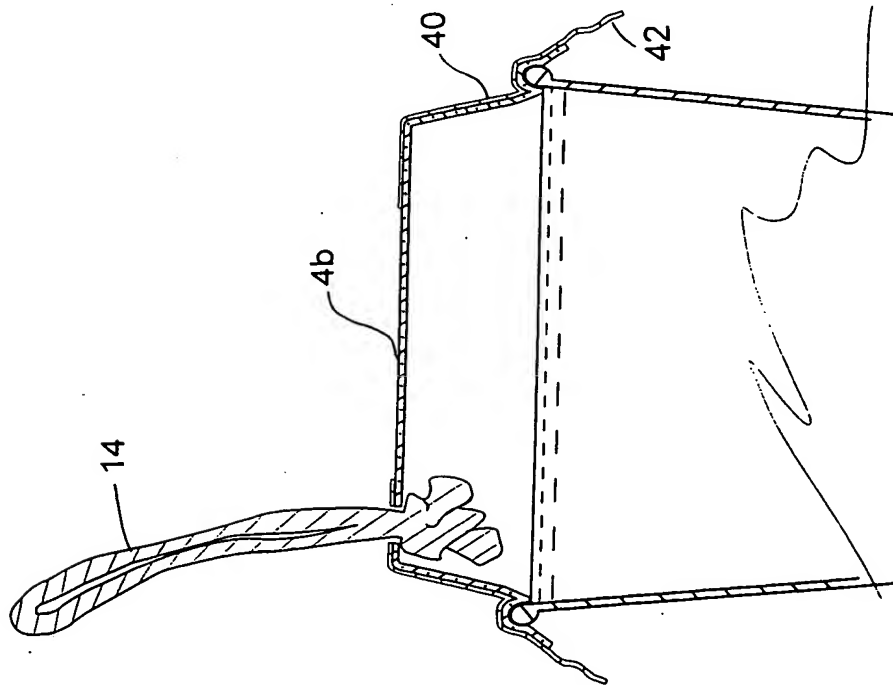
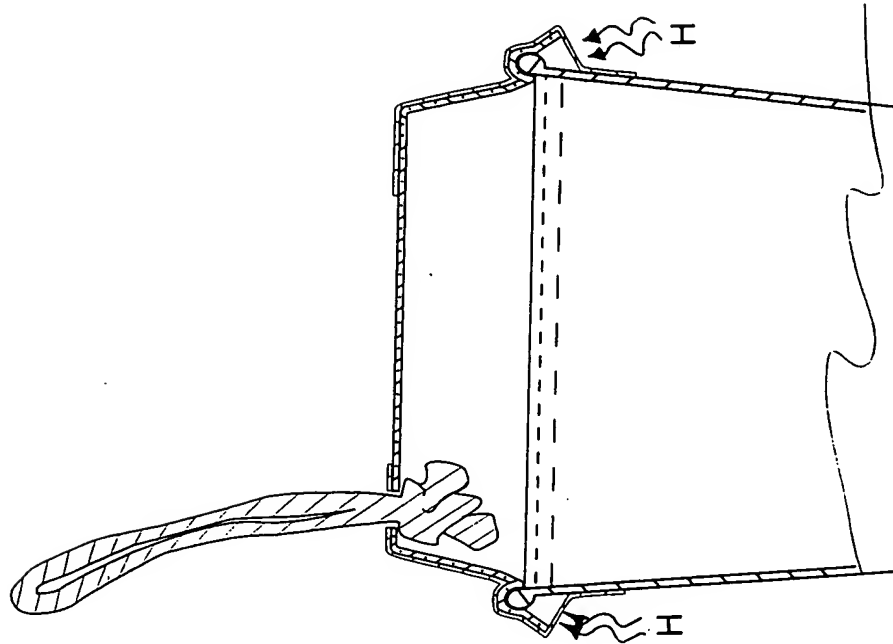


FIG. 13A





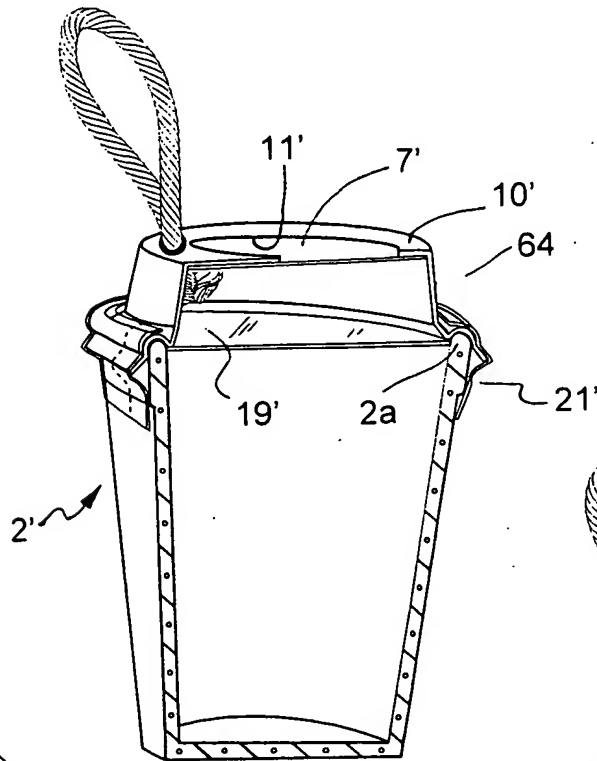


FIG. 14C

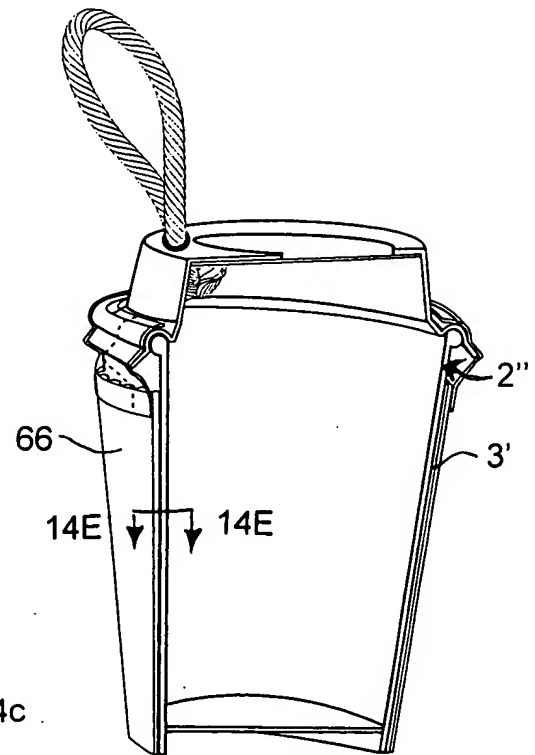


FIG. 14D

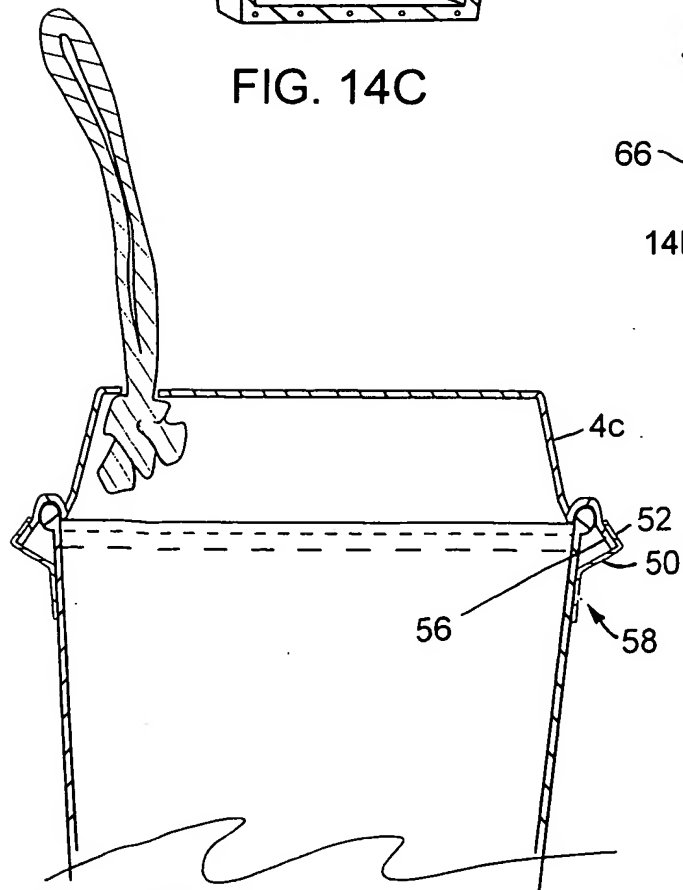


FIG. 14B

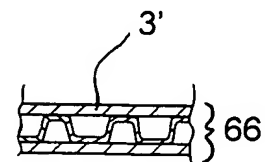


FIG. 14E

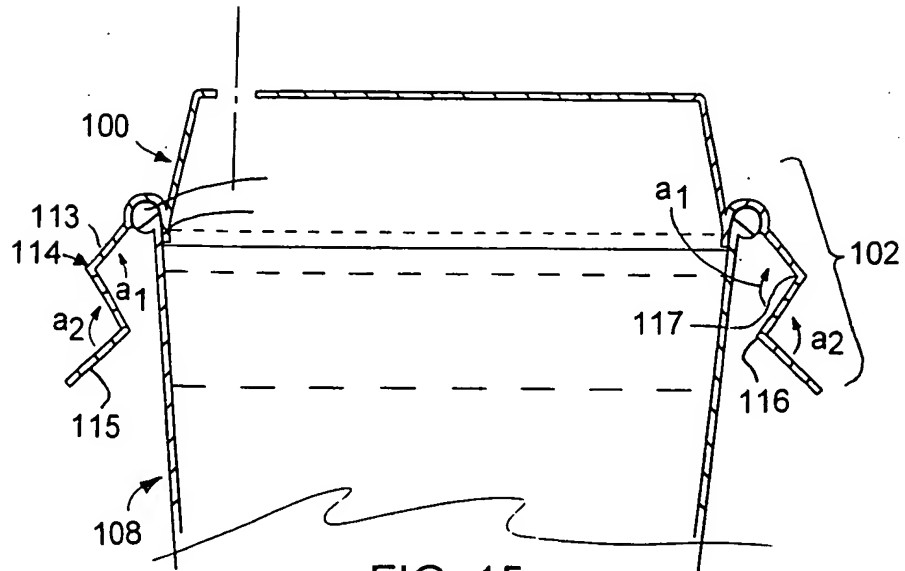


FIG. 15

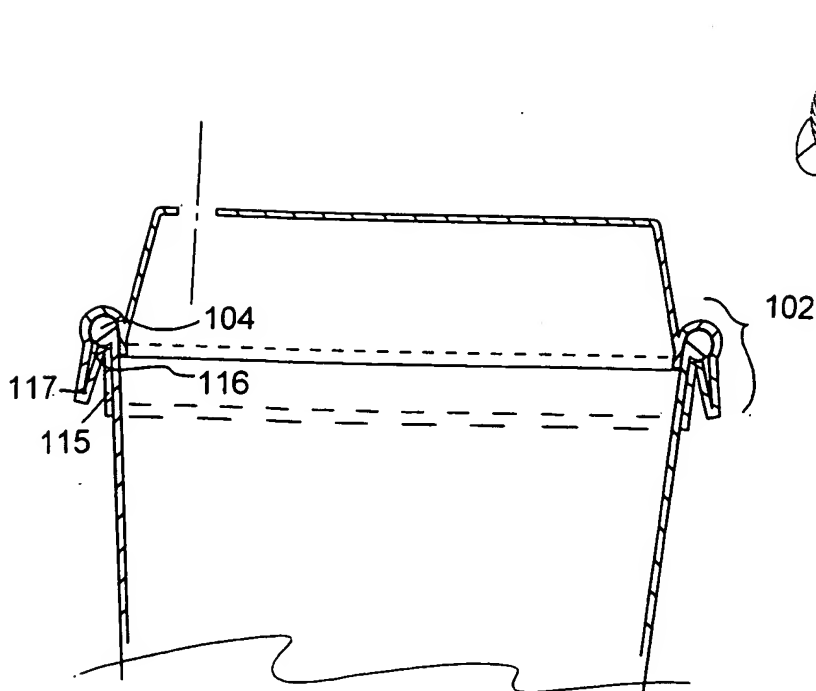


FIG. 15A

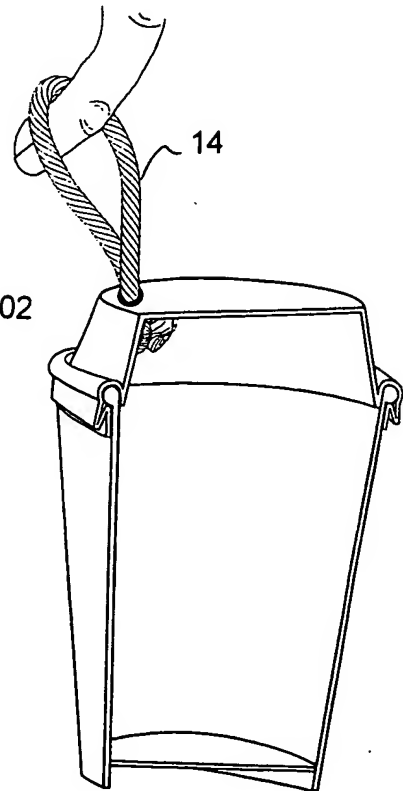
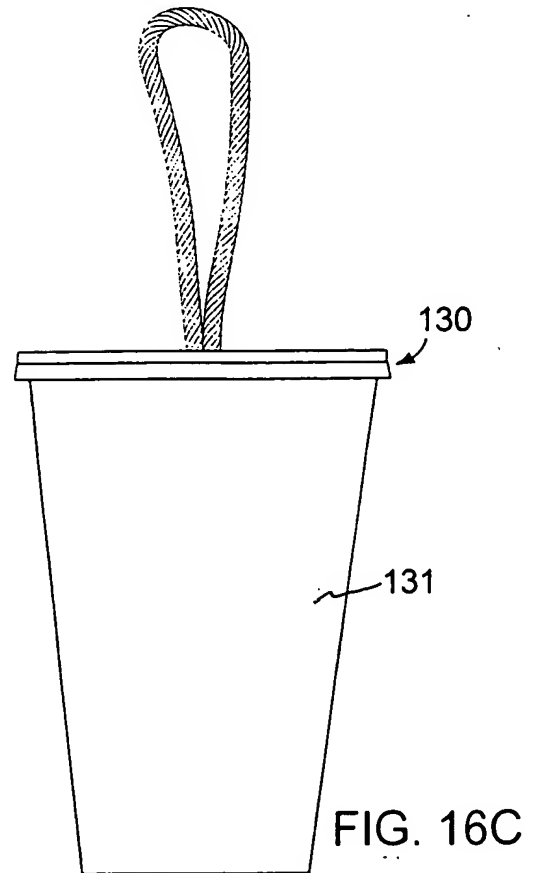
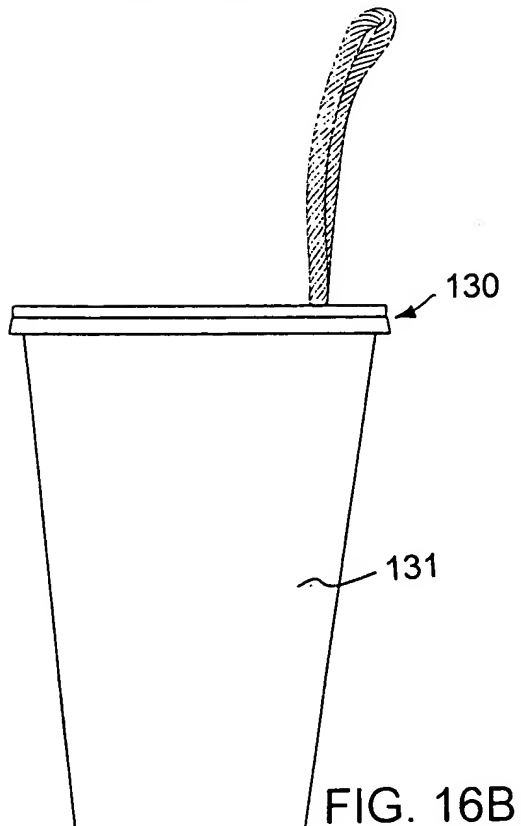
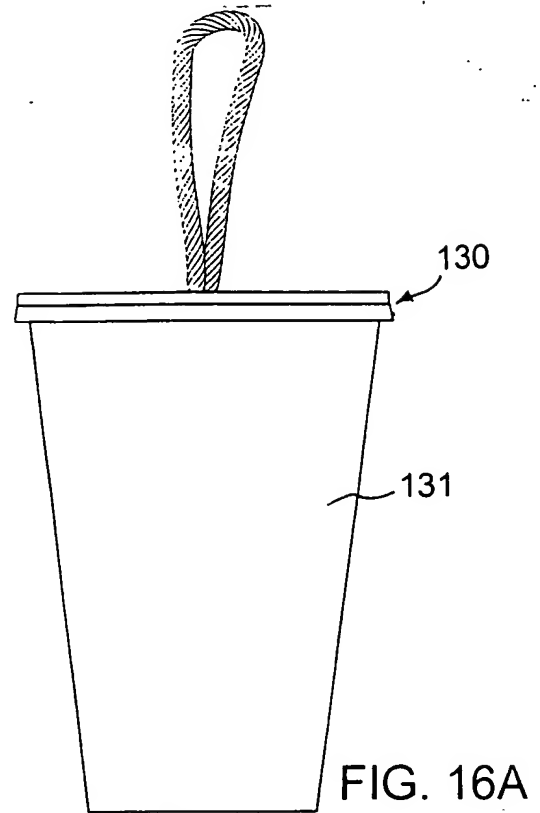
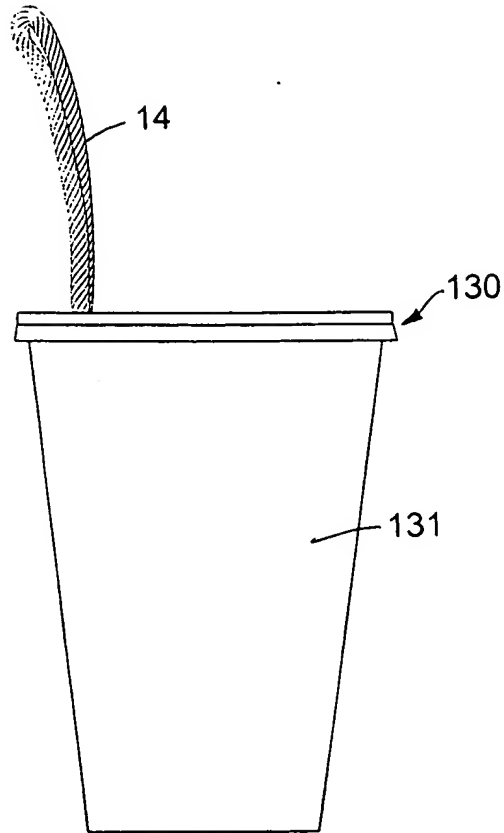


FIG. 15B



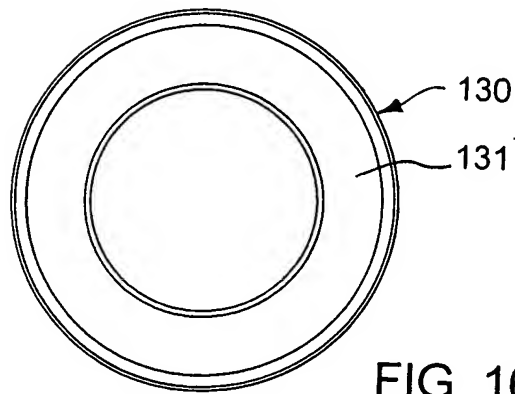


FIG. 16E

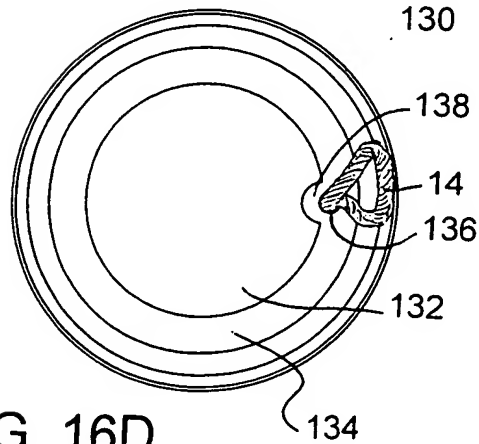
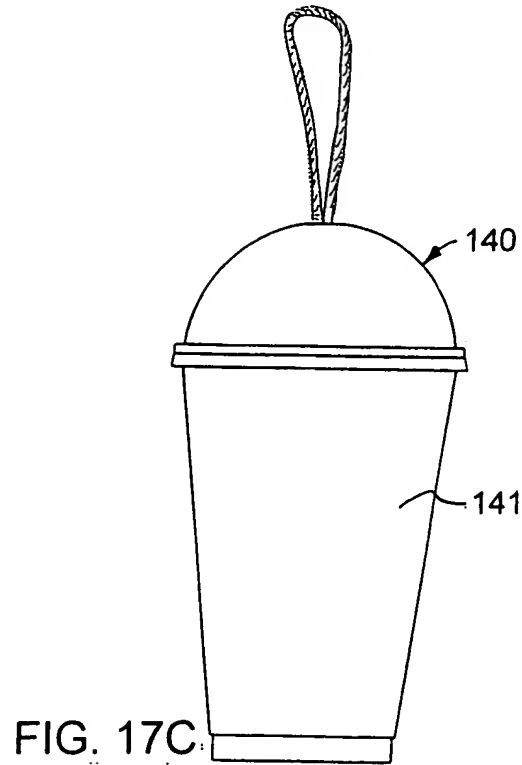
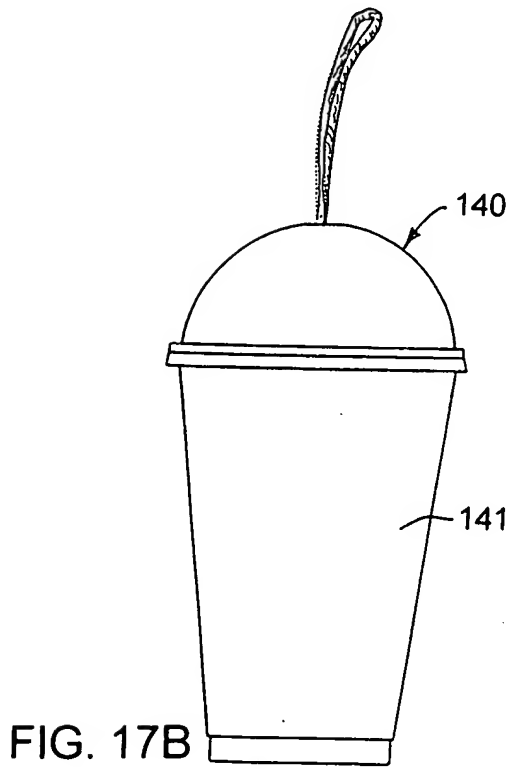
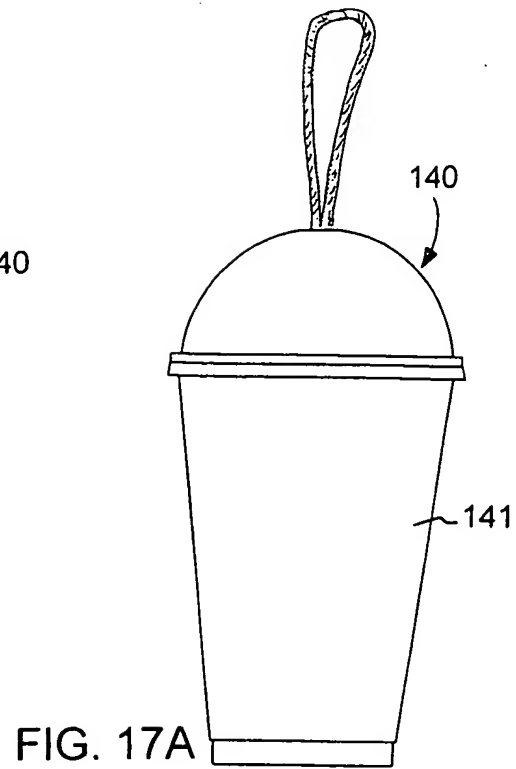
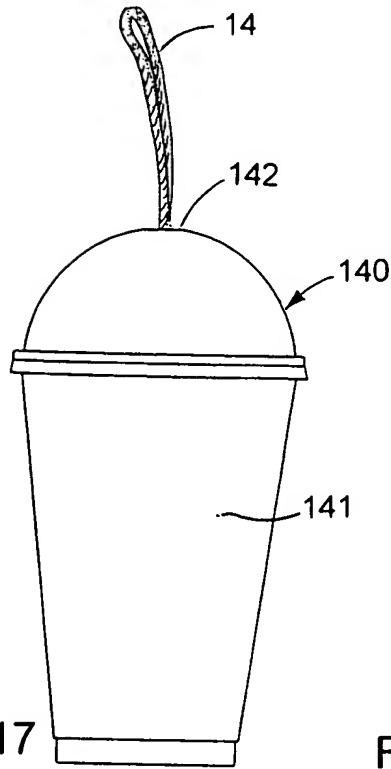


FIG. 16D



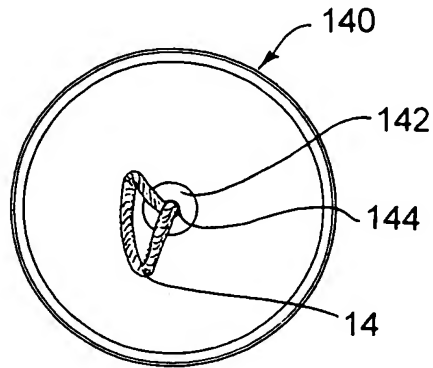


FIG. 17D

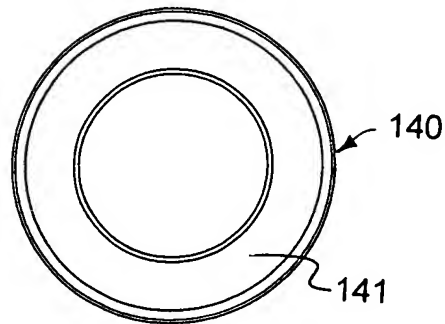
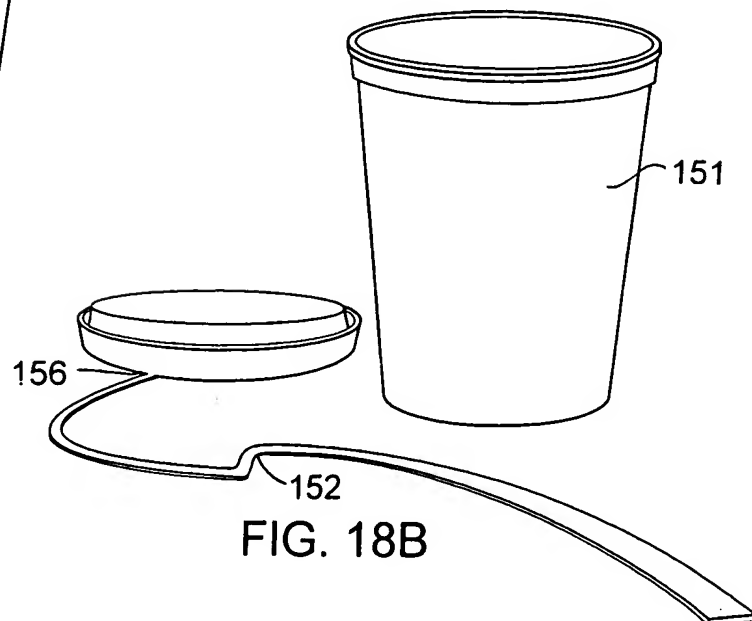
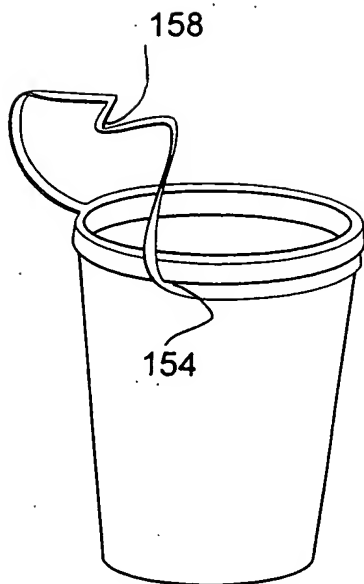
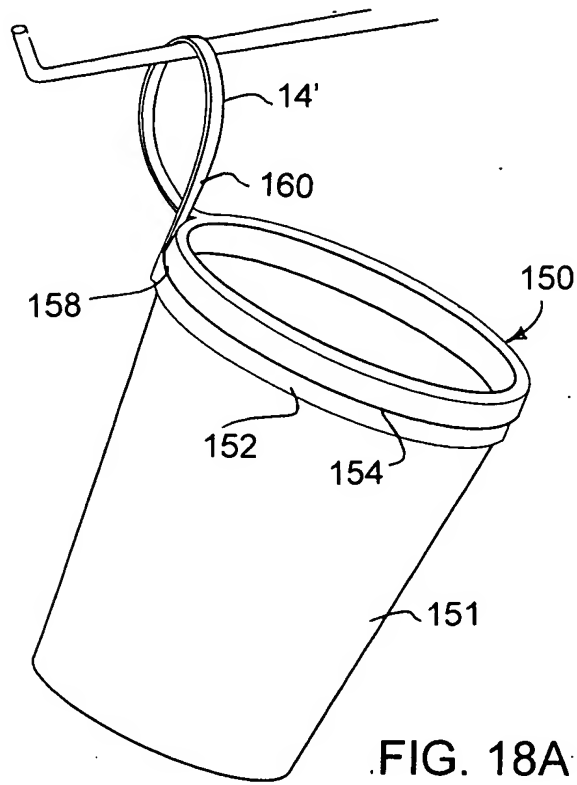


FIG. 17E





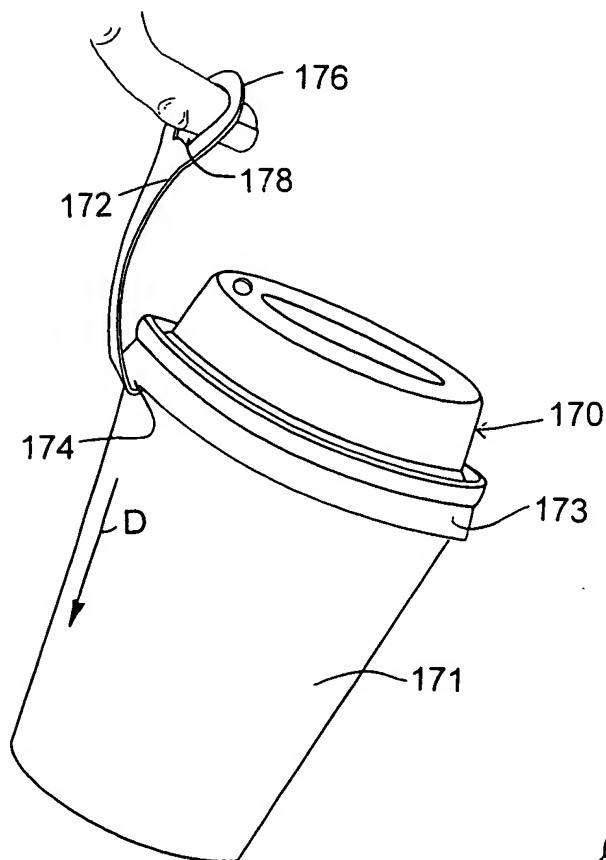


FIG. 19

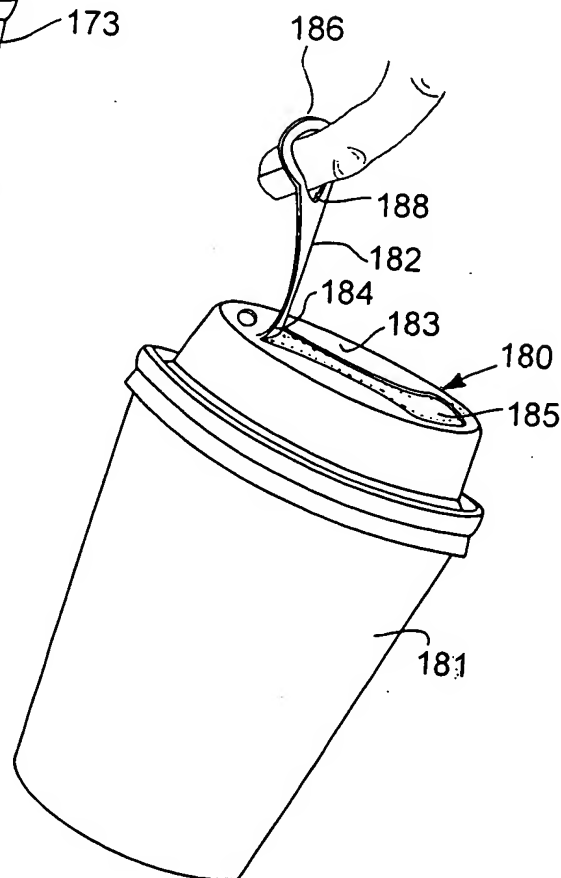
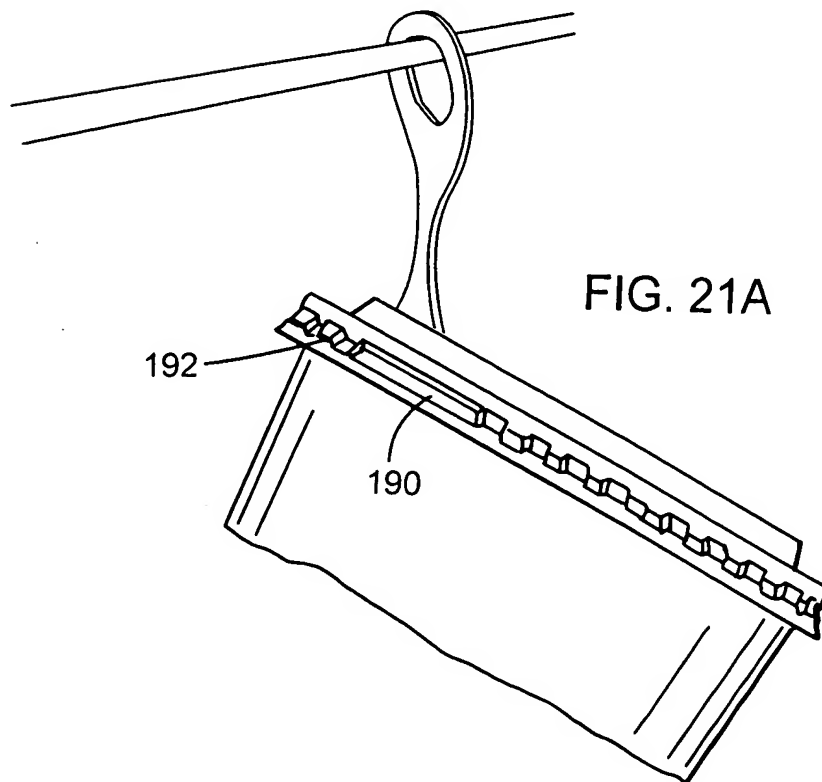
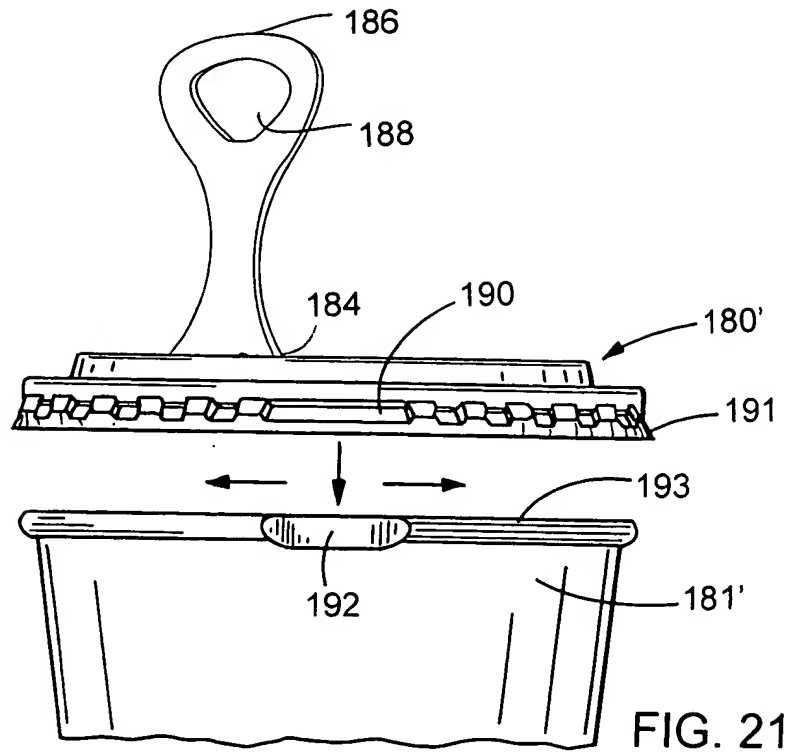
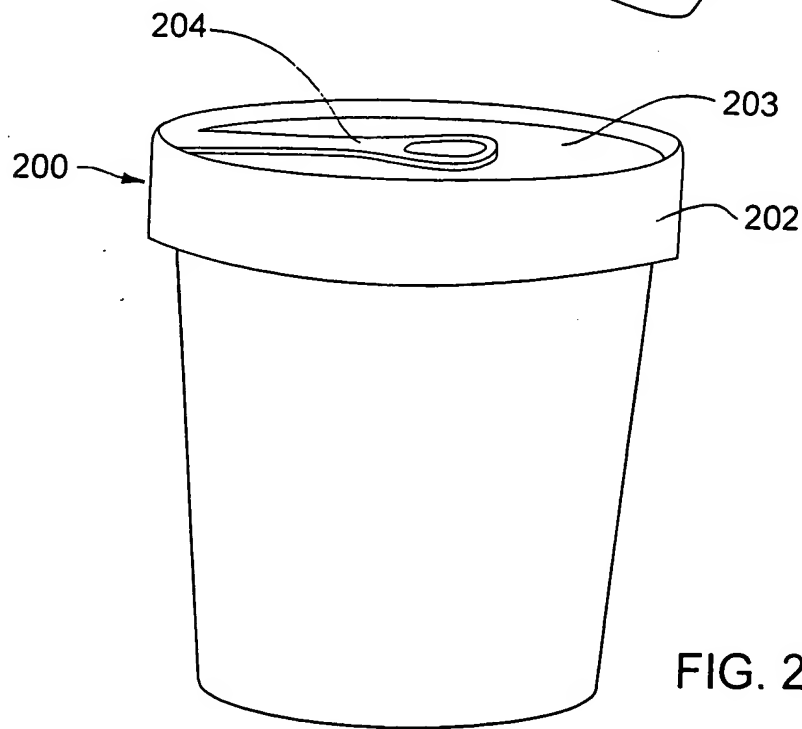
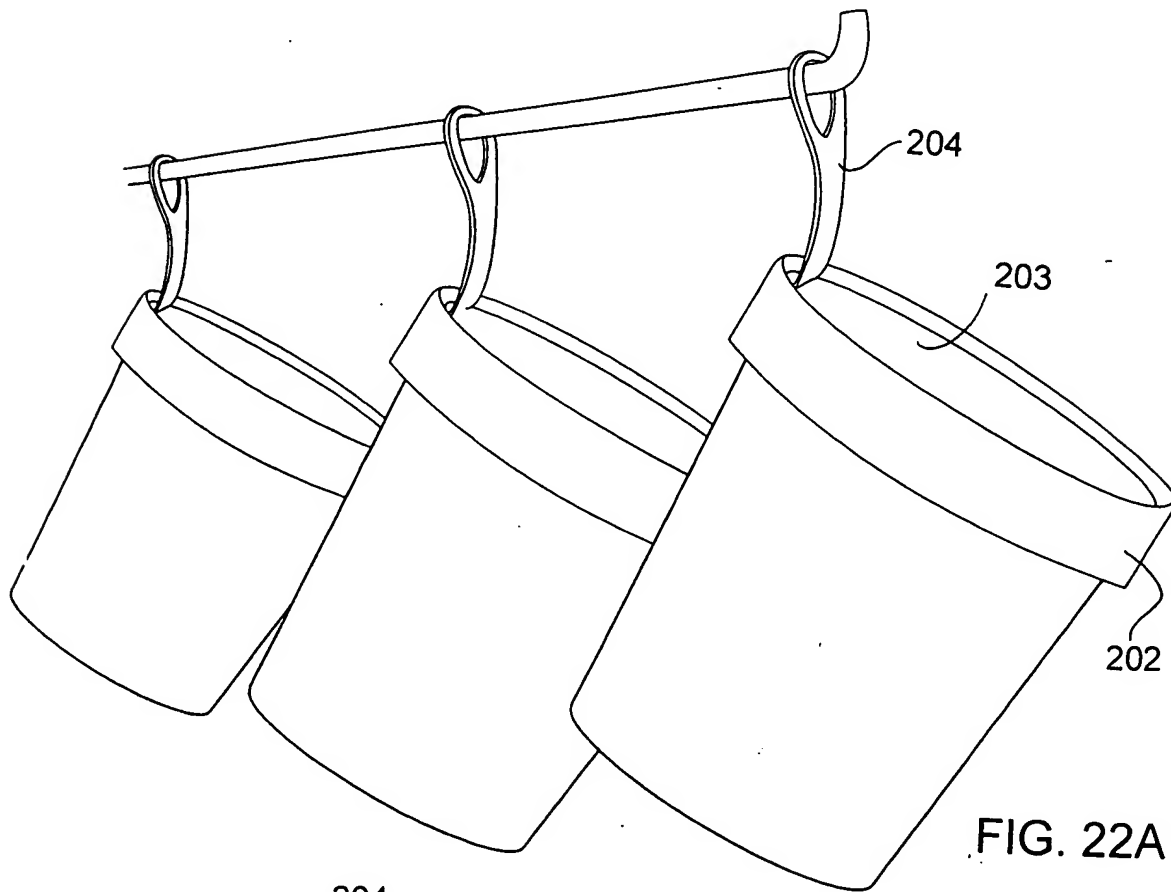


FIG. 20





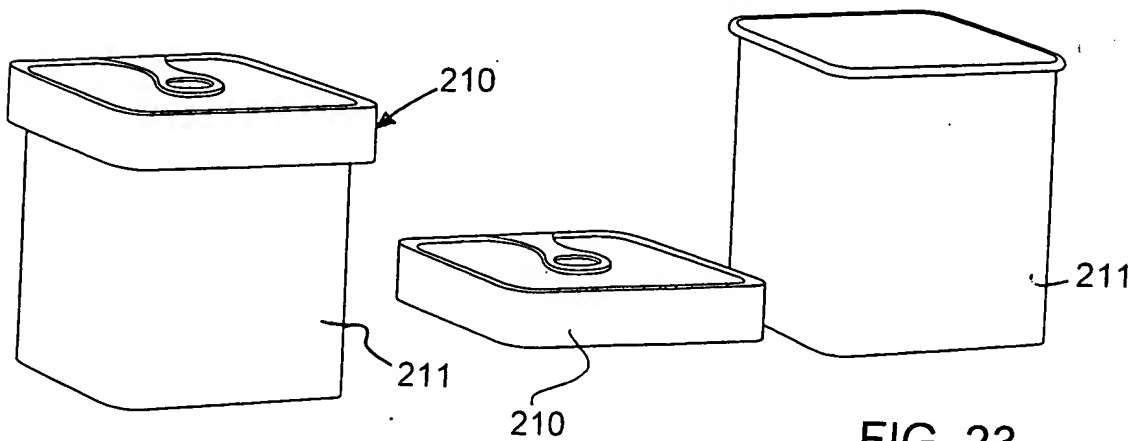
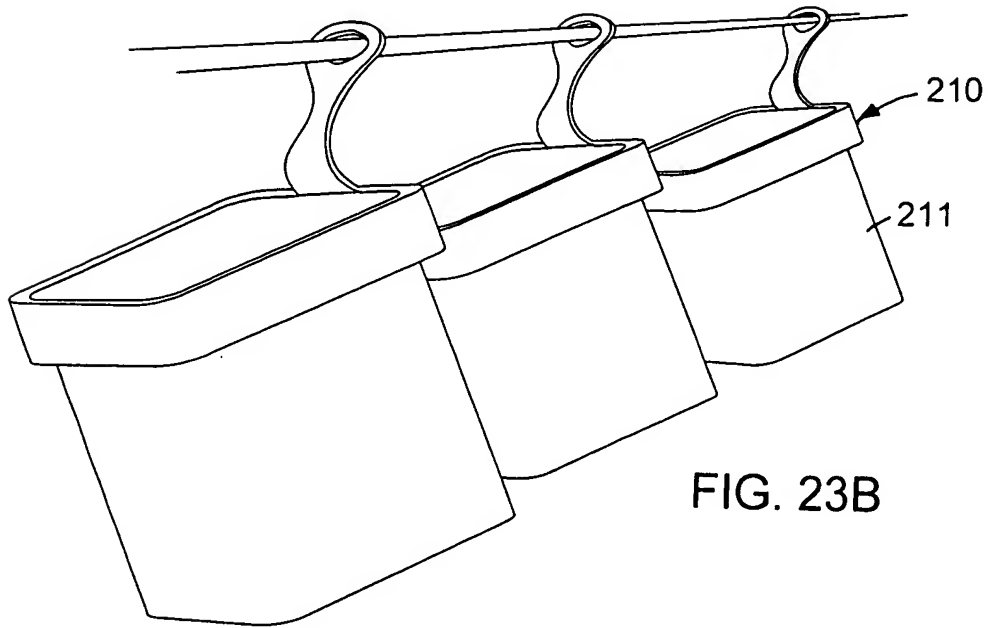


FIG. 23

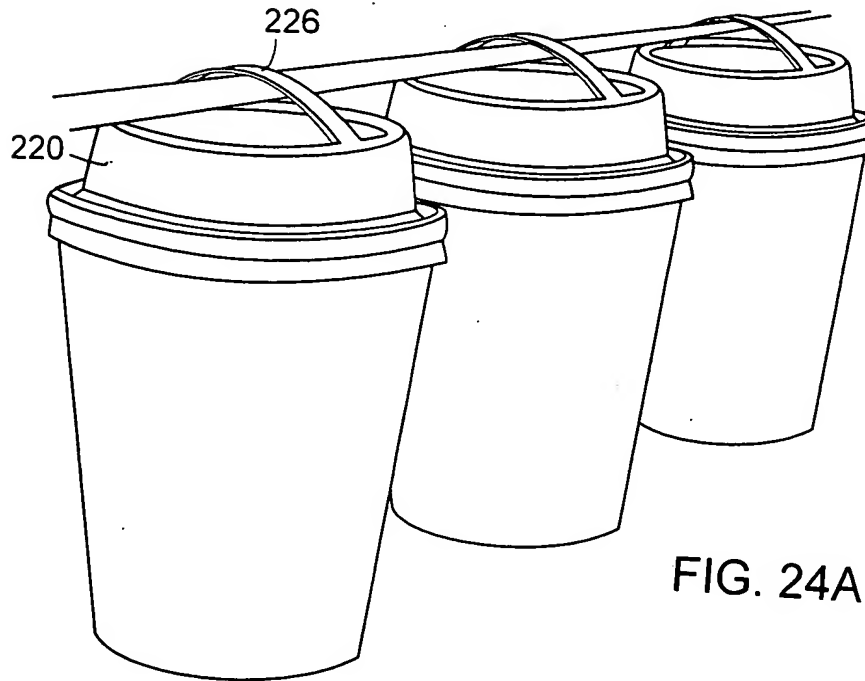


FIG. 24A

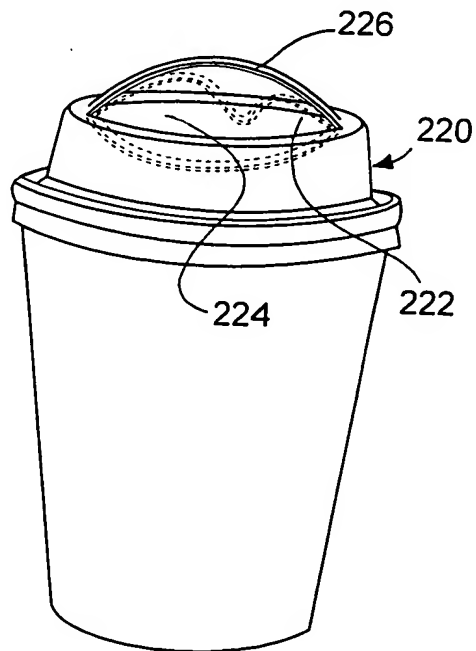


FIG. 24

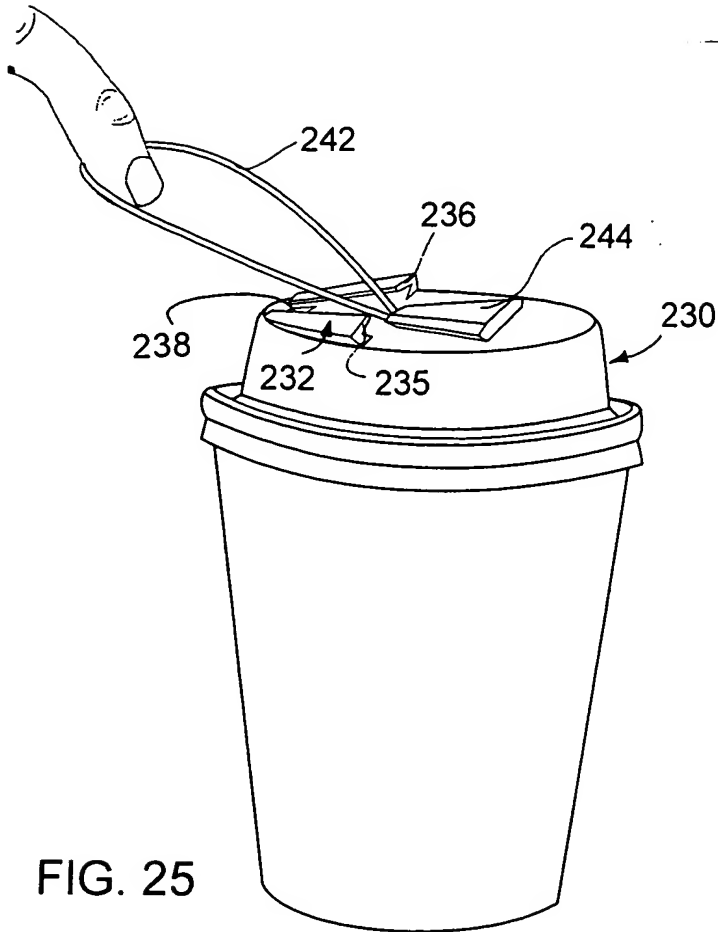


FIG. 25

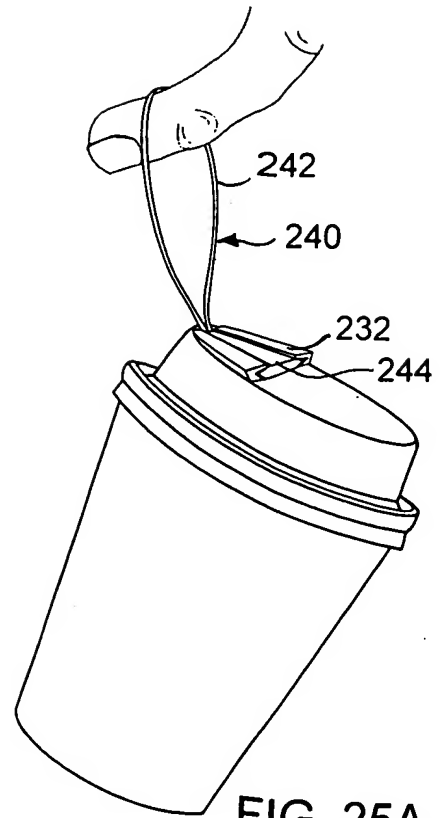


FIG. 25A

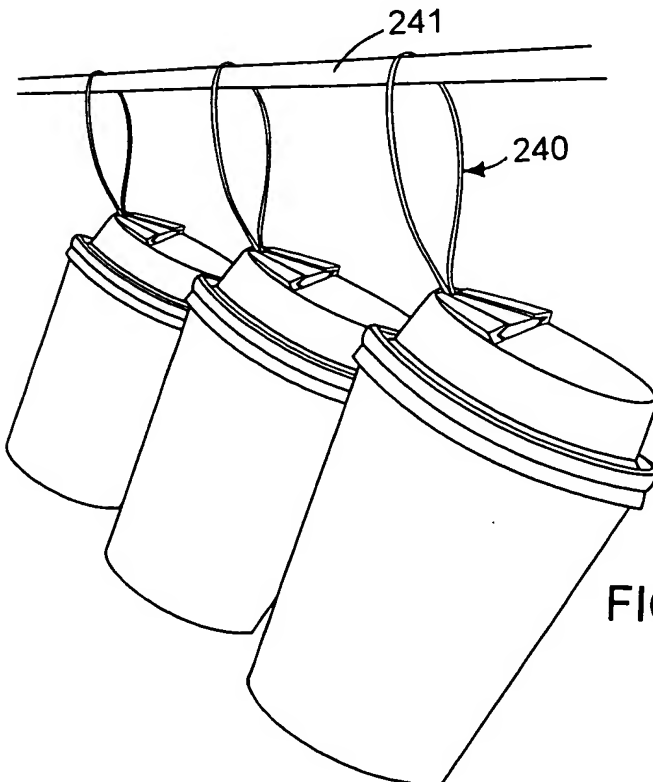


FIG. 25B

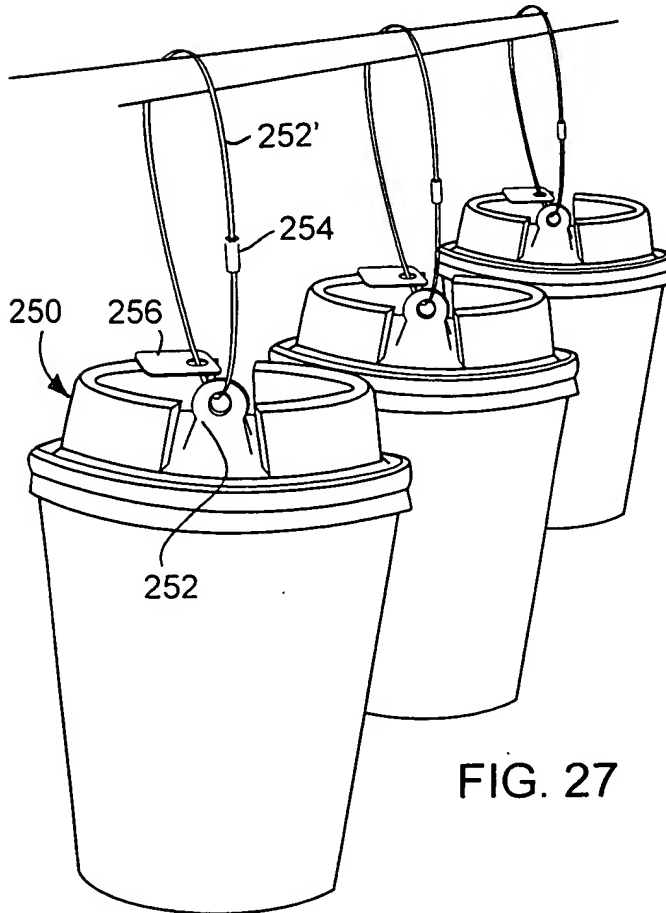


FIG. 27

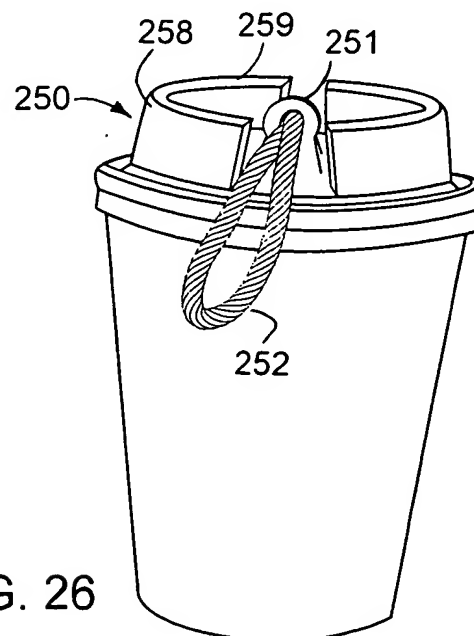


FIG. 26

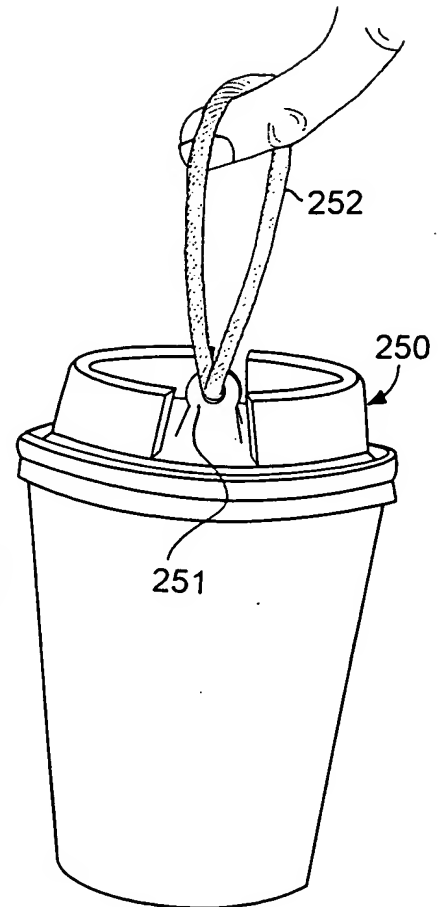
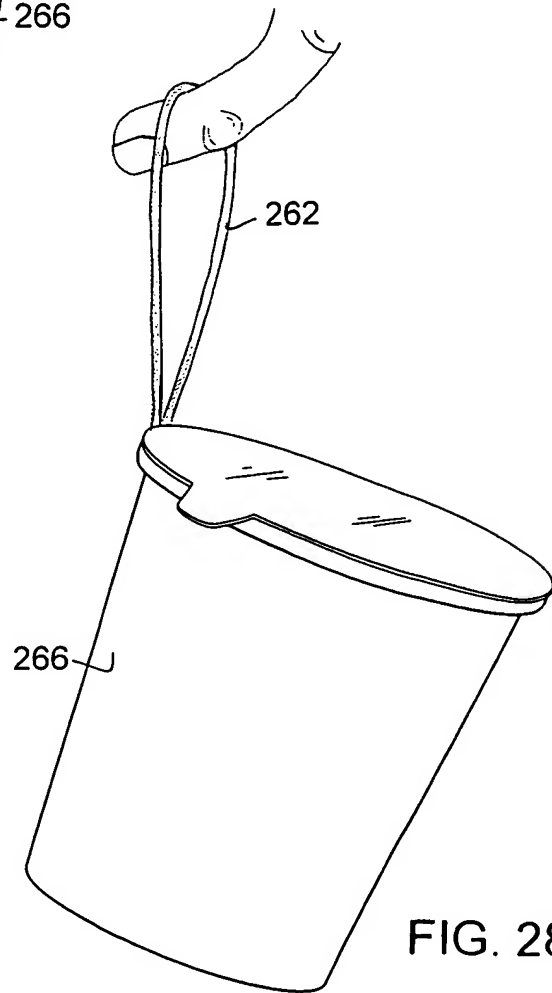
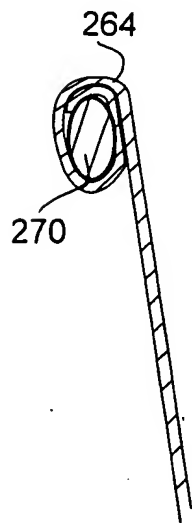
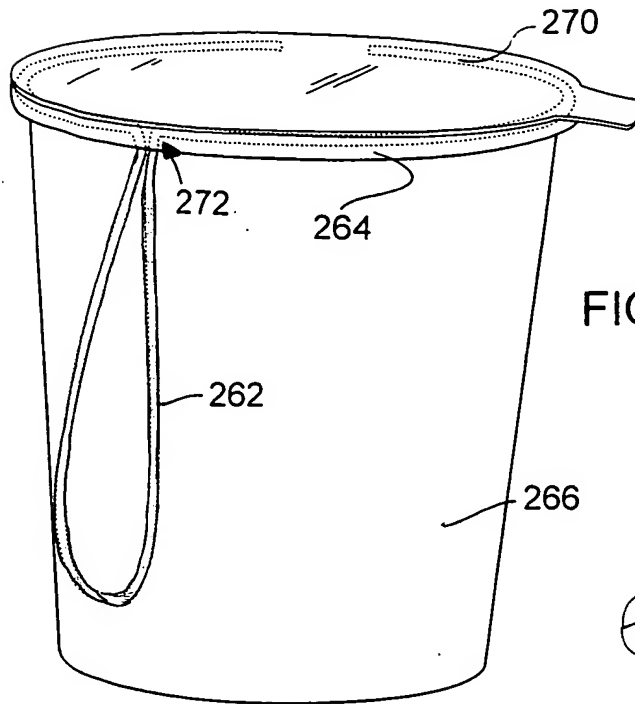


FIG. 26A





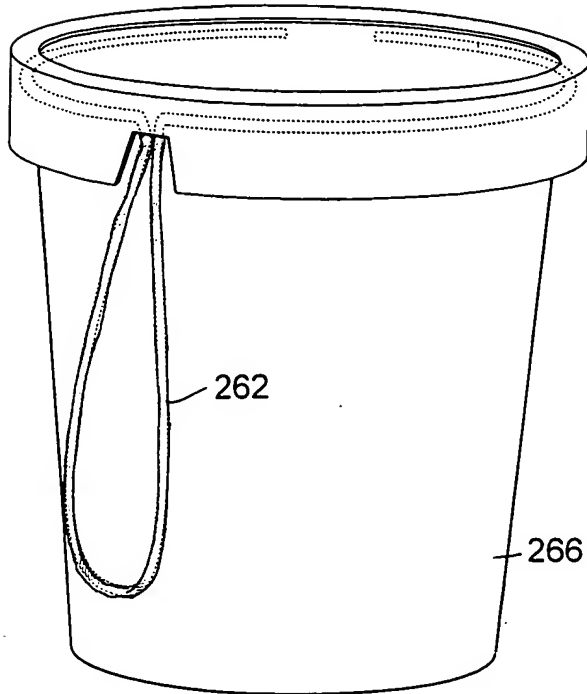


FIG. 29

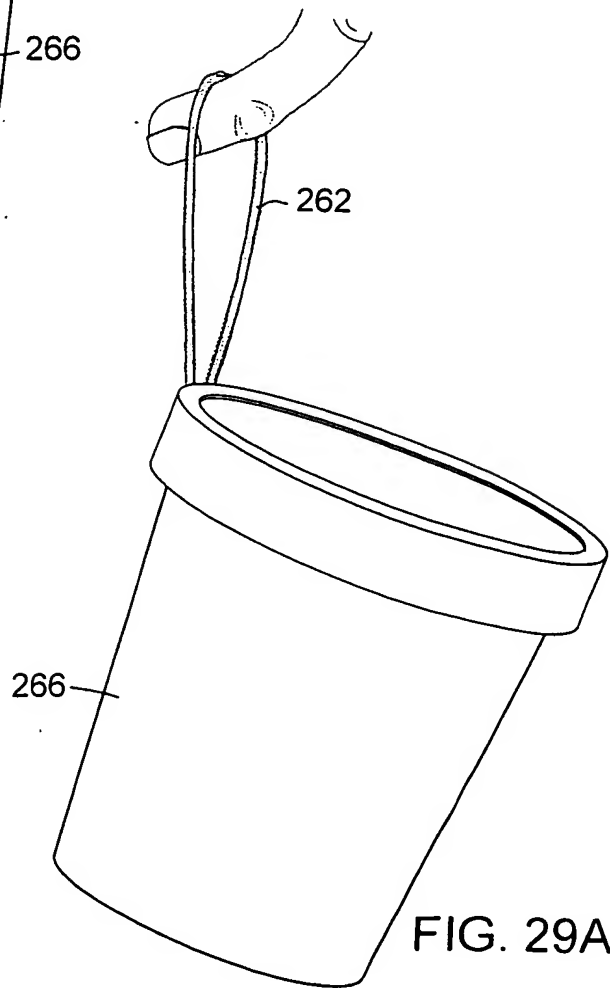


FIG. 29A

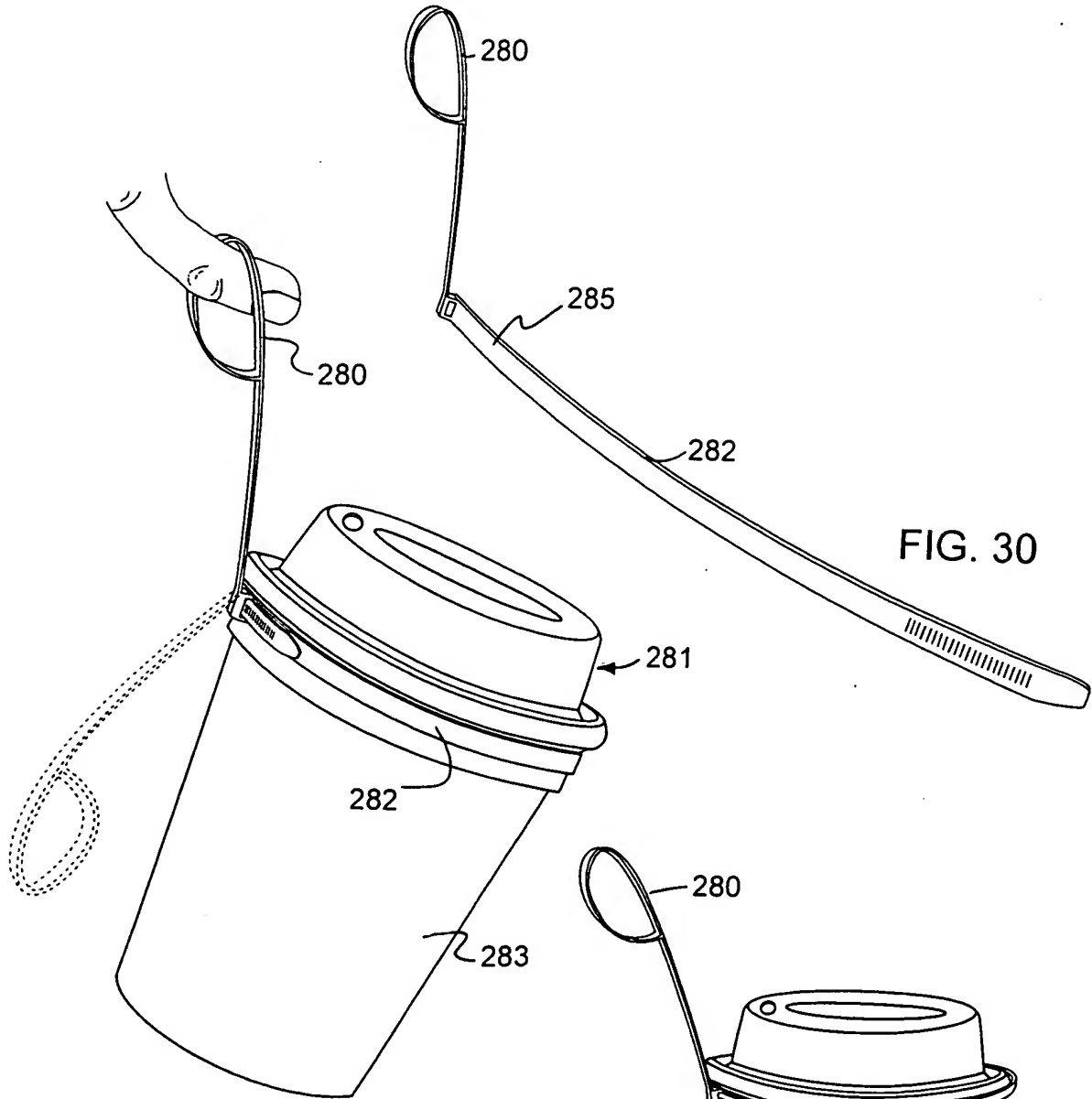
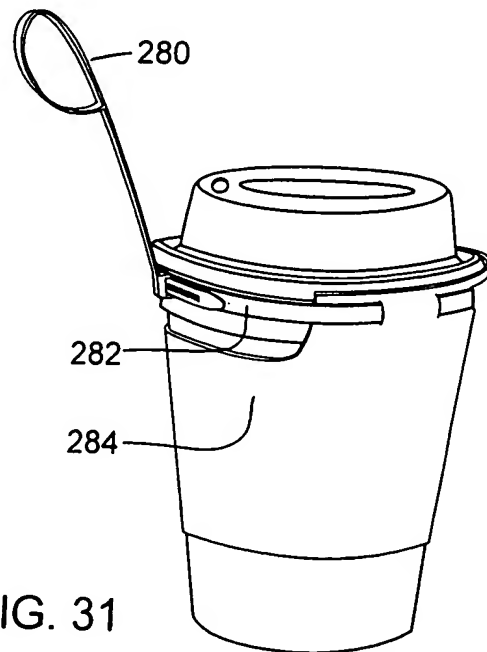


FIG. 30A



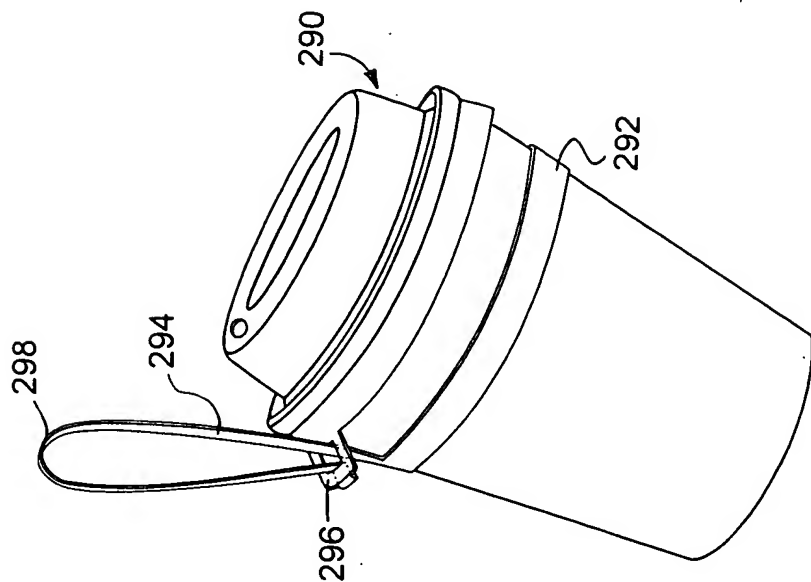


FIG. 32A

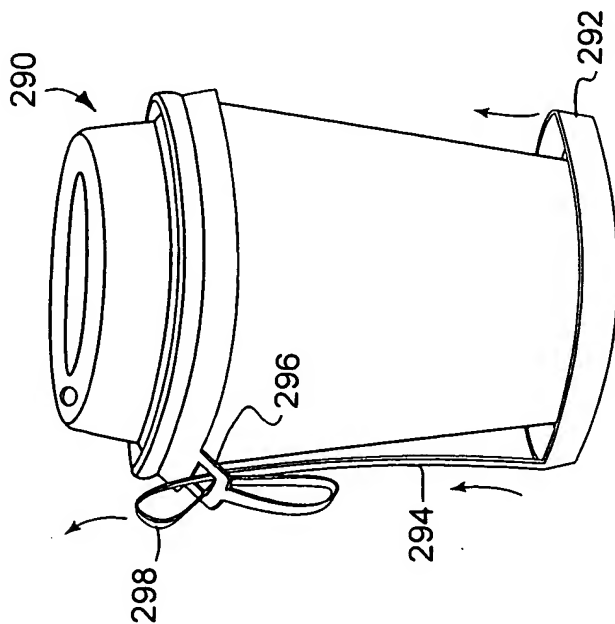
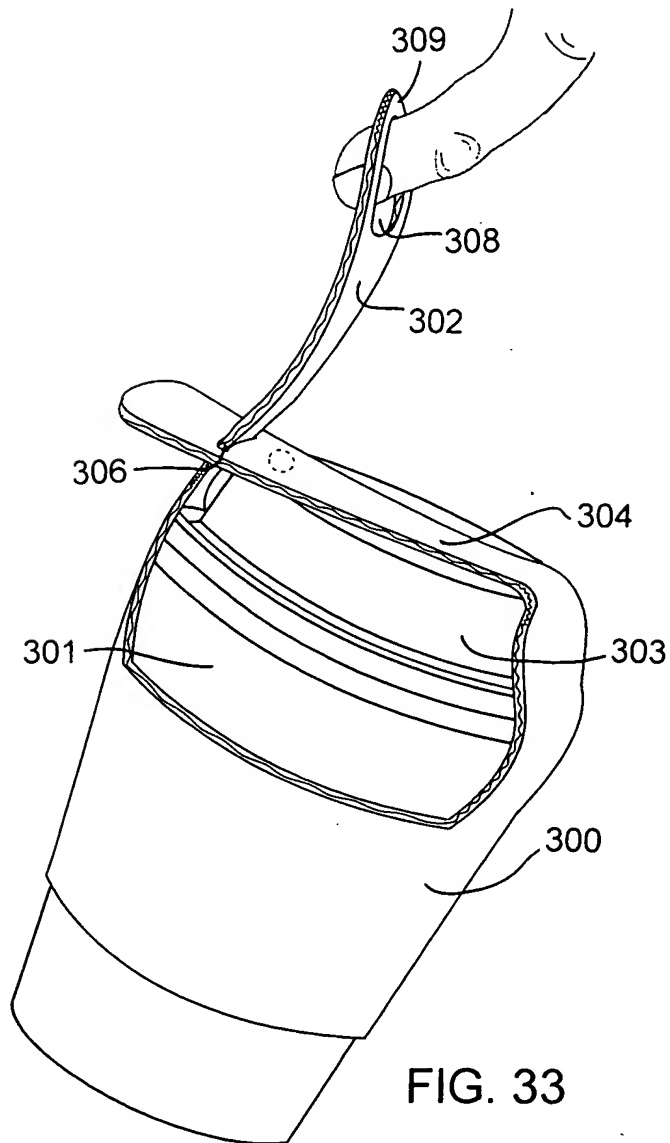


FIG. 32



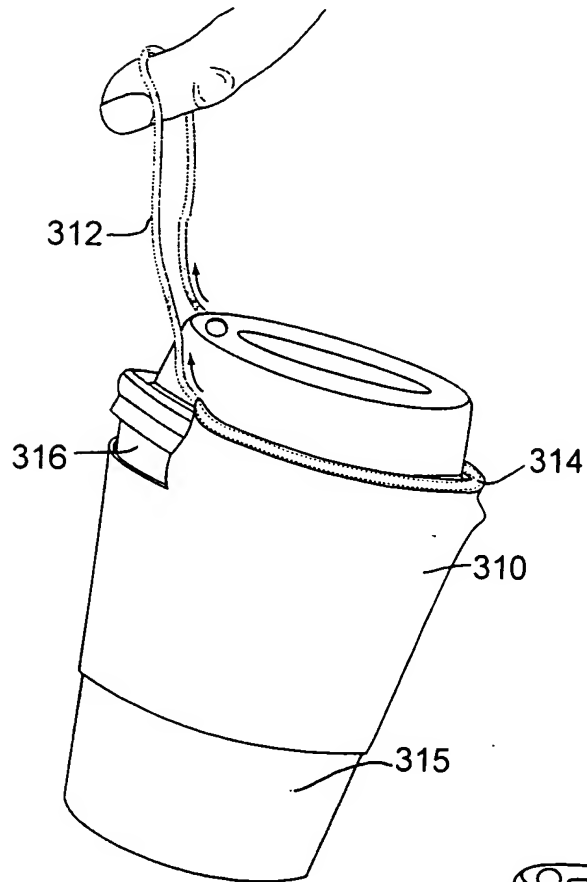


FIG. 34

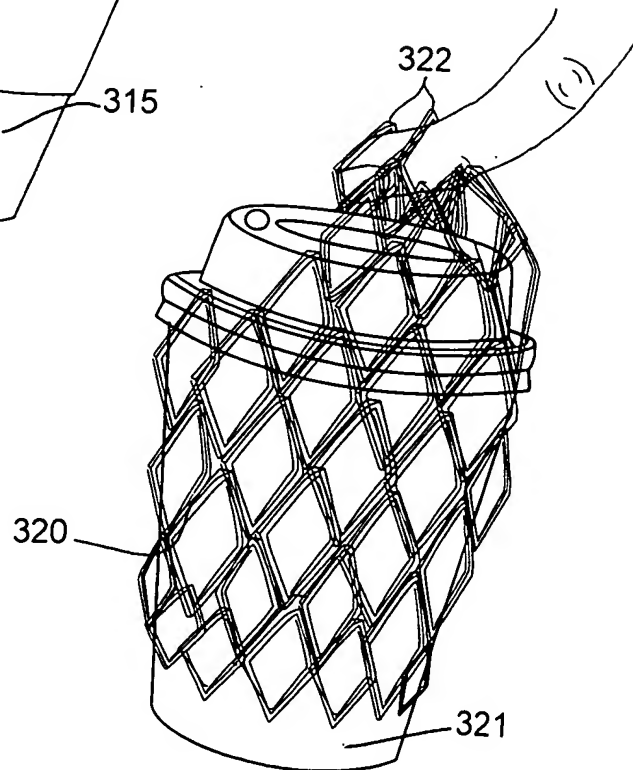
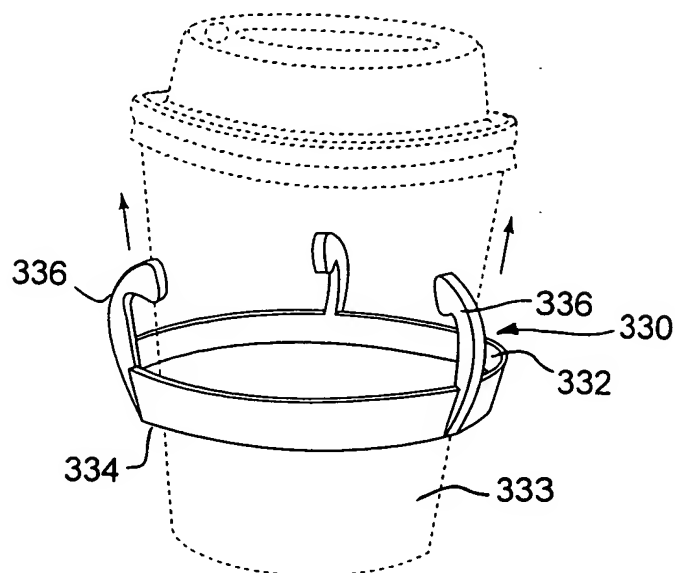
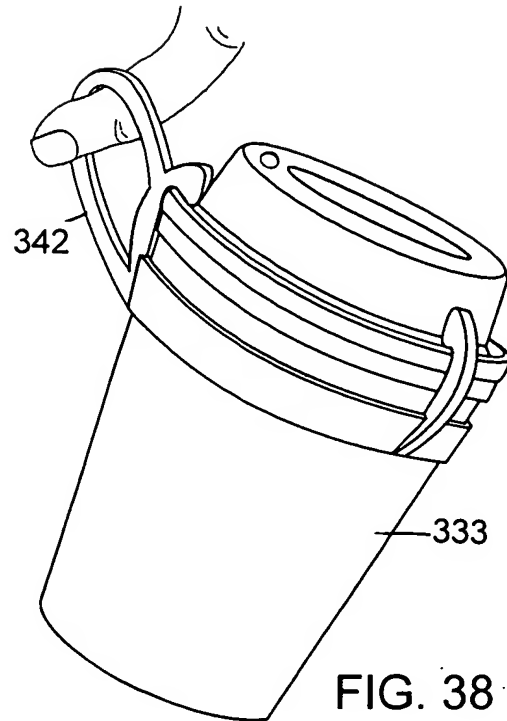
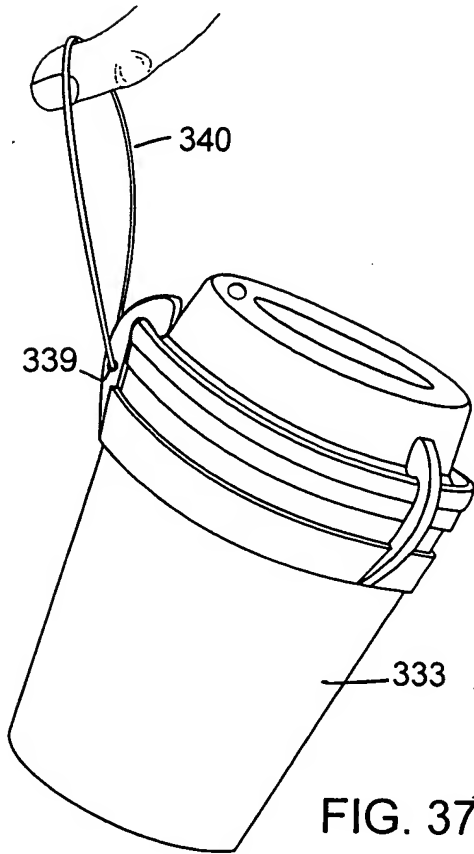
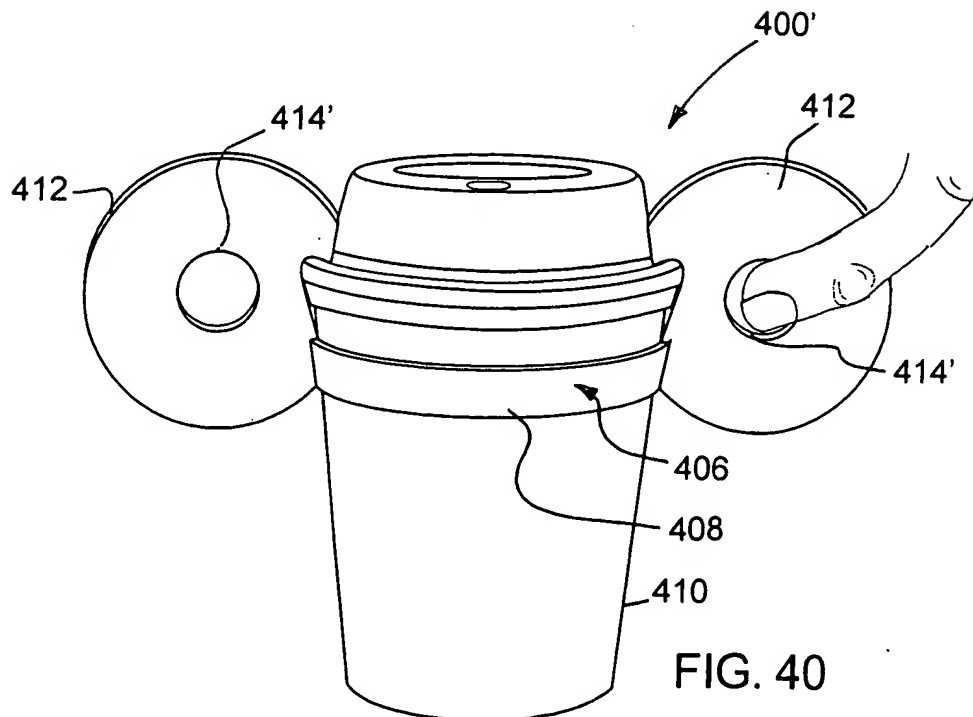
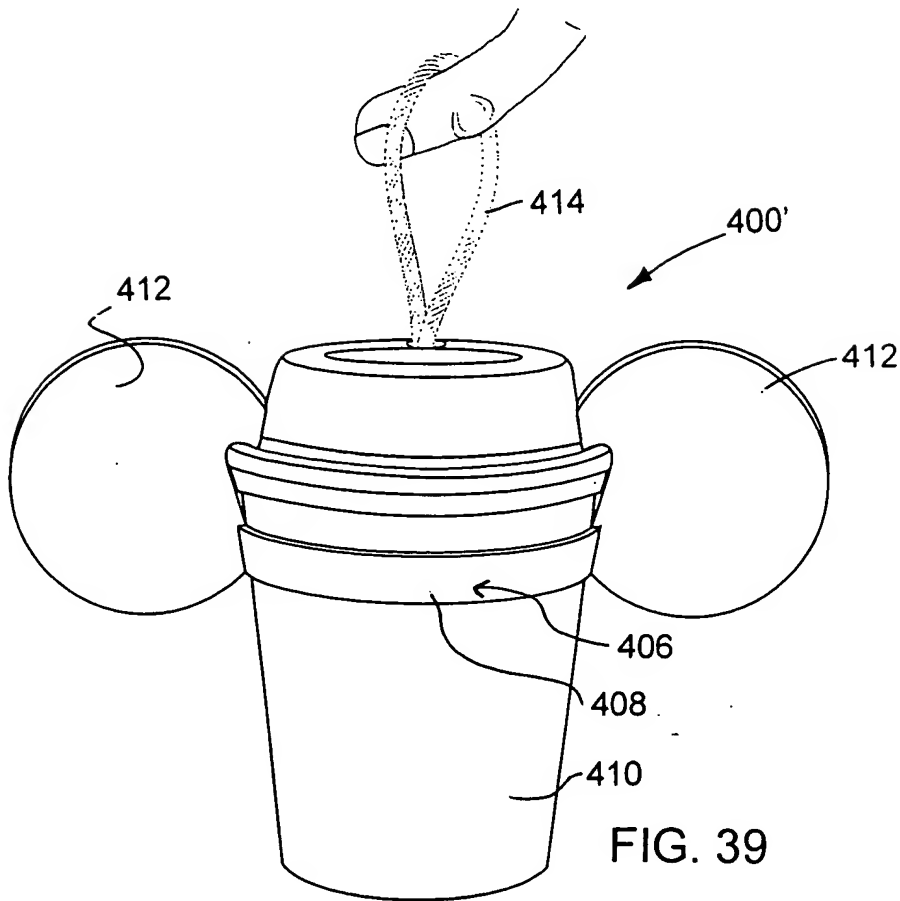
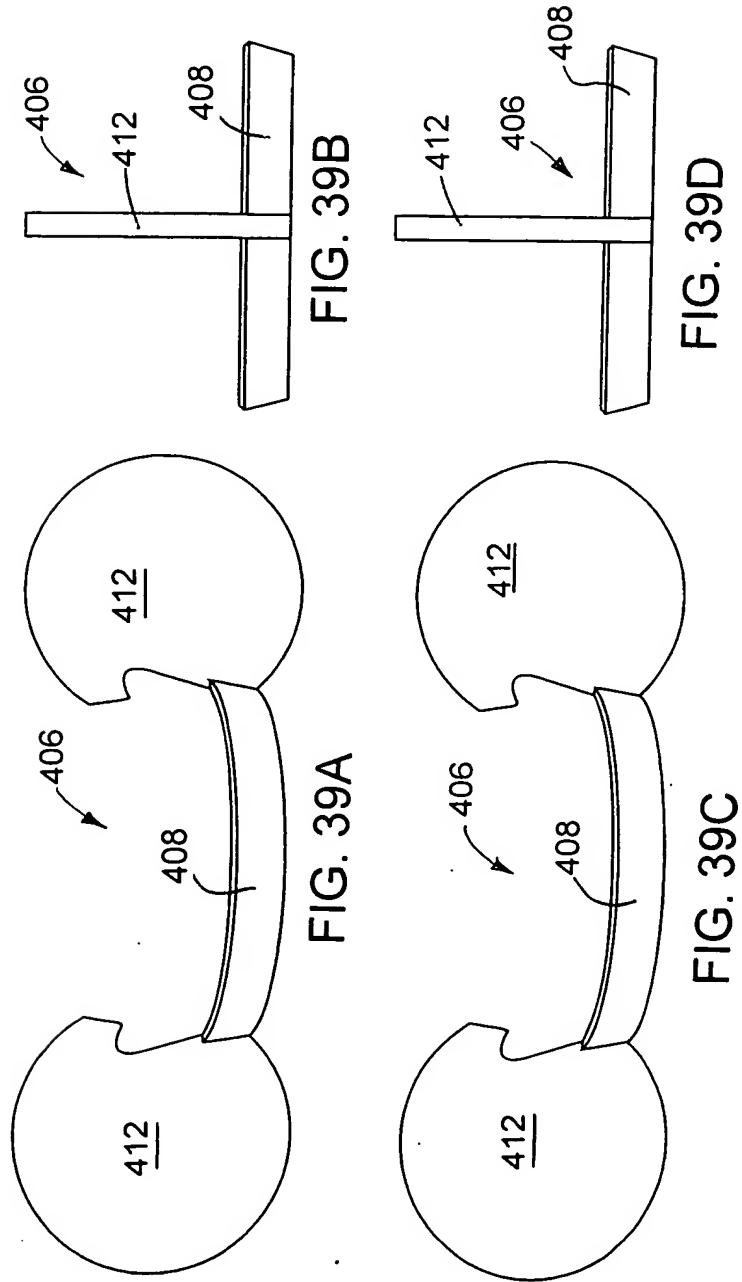


FIG. 35









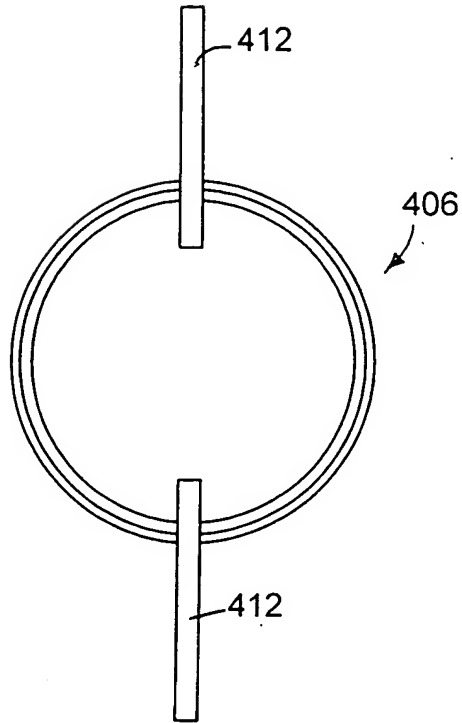


FIG. 39E

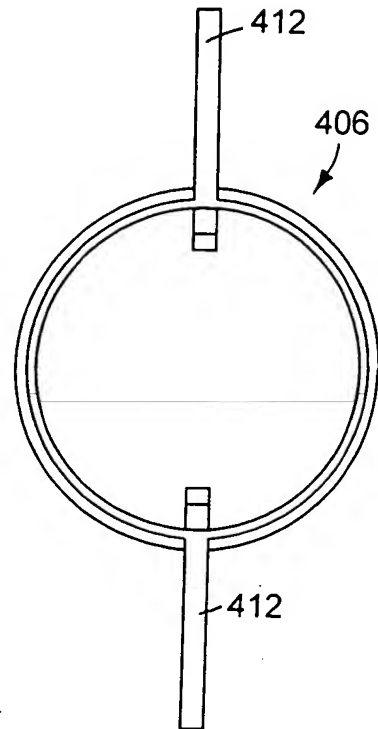


FIG. 39F

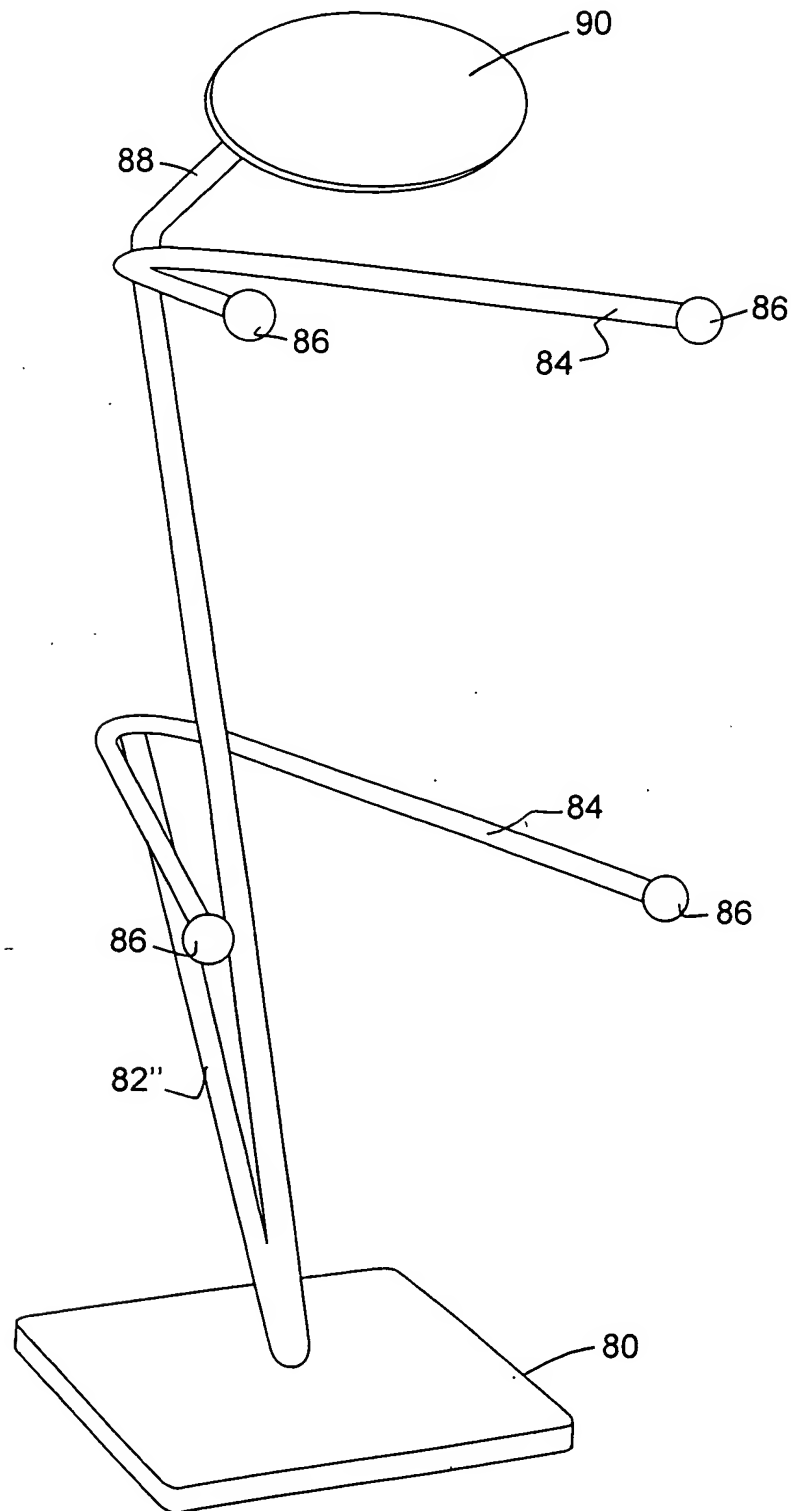
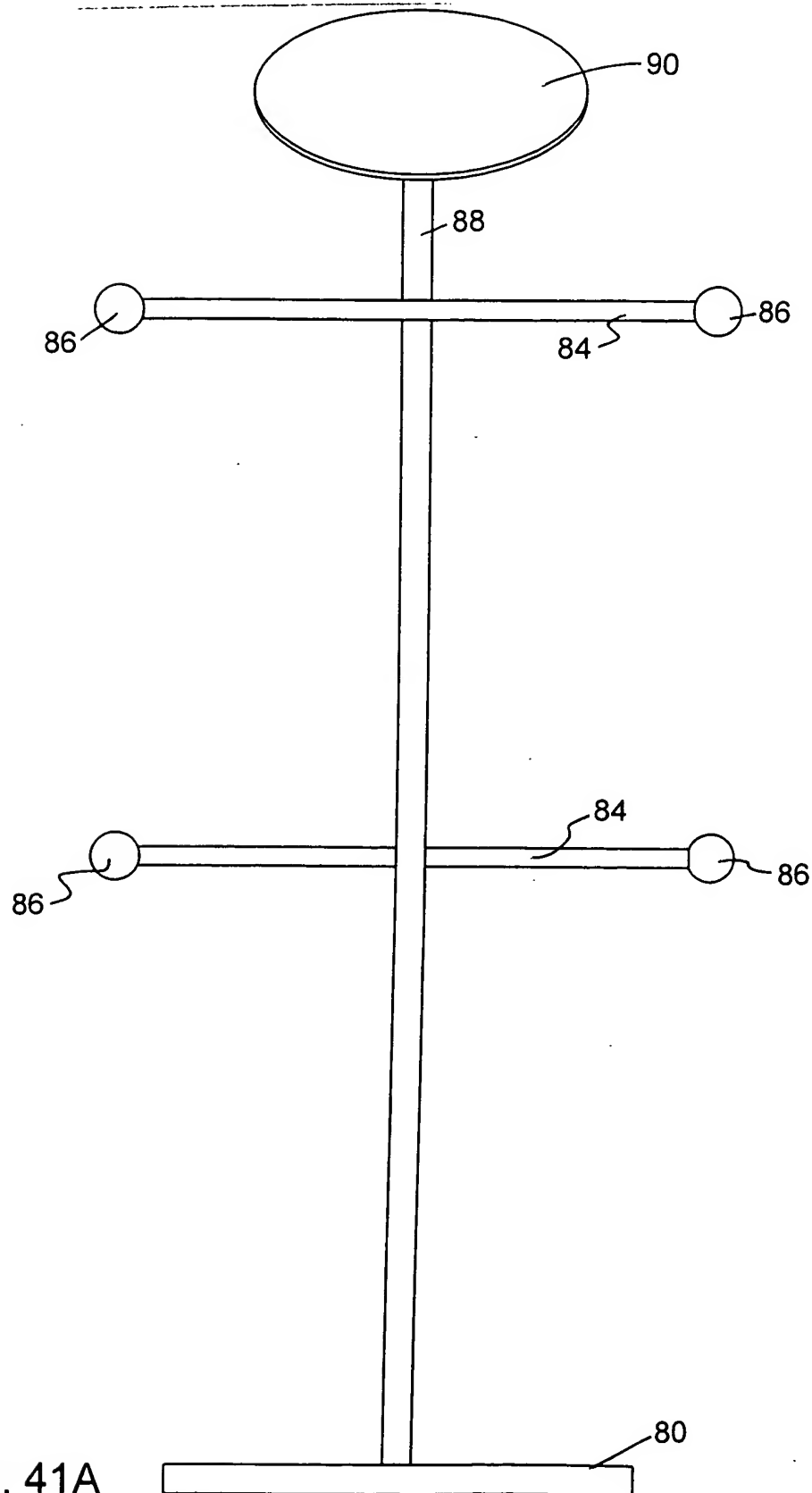
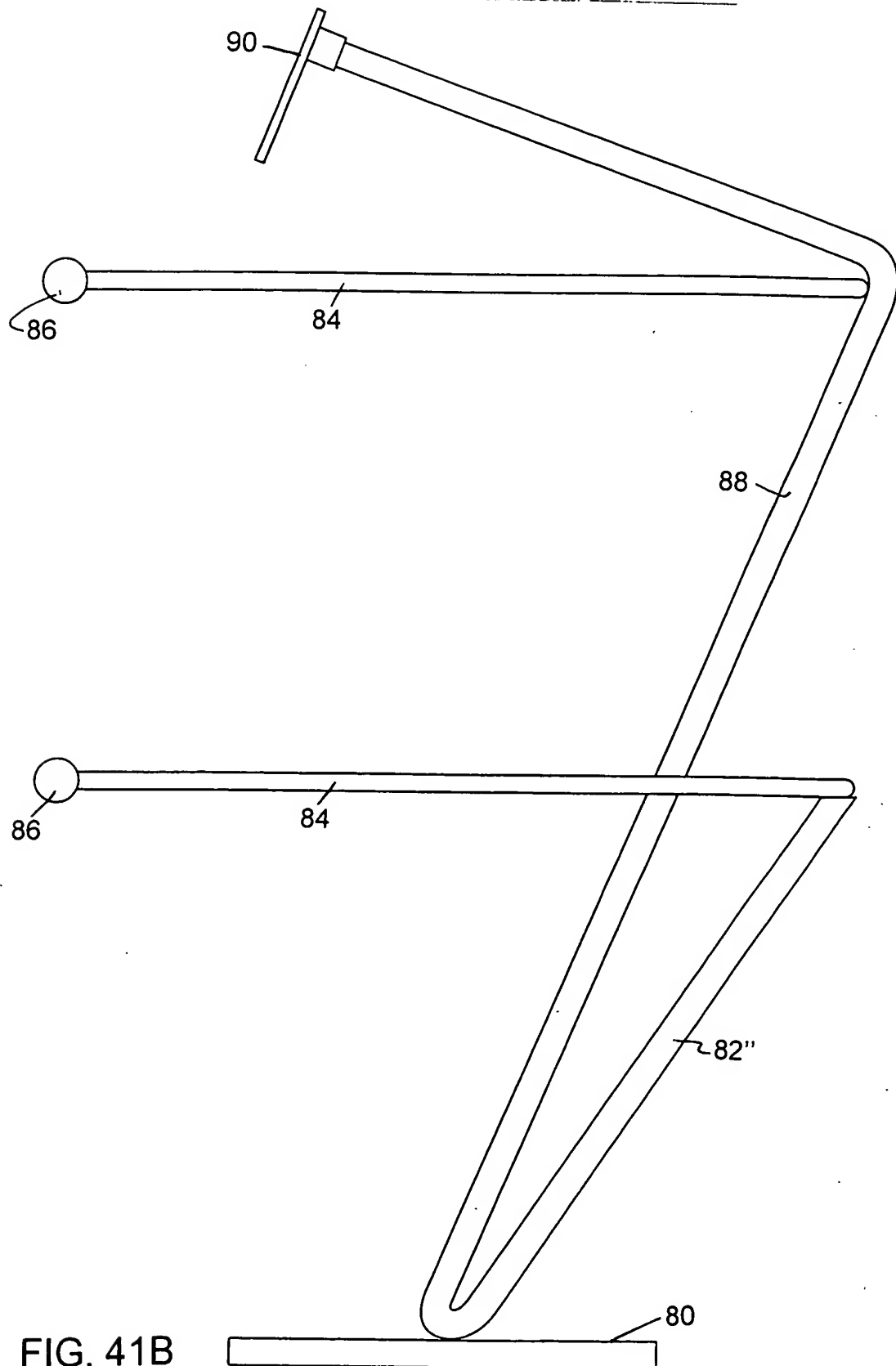
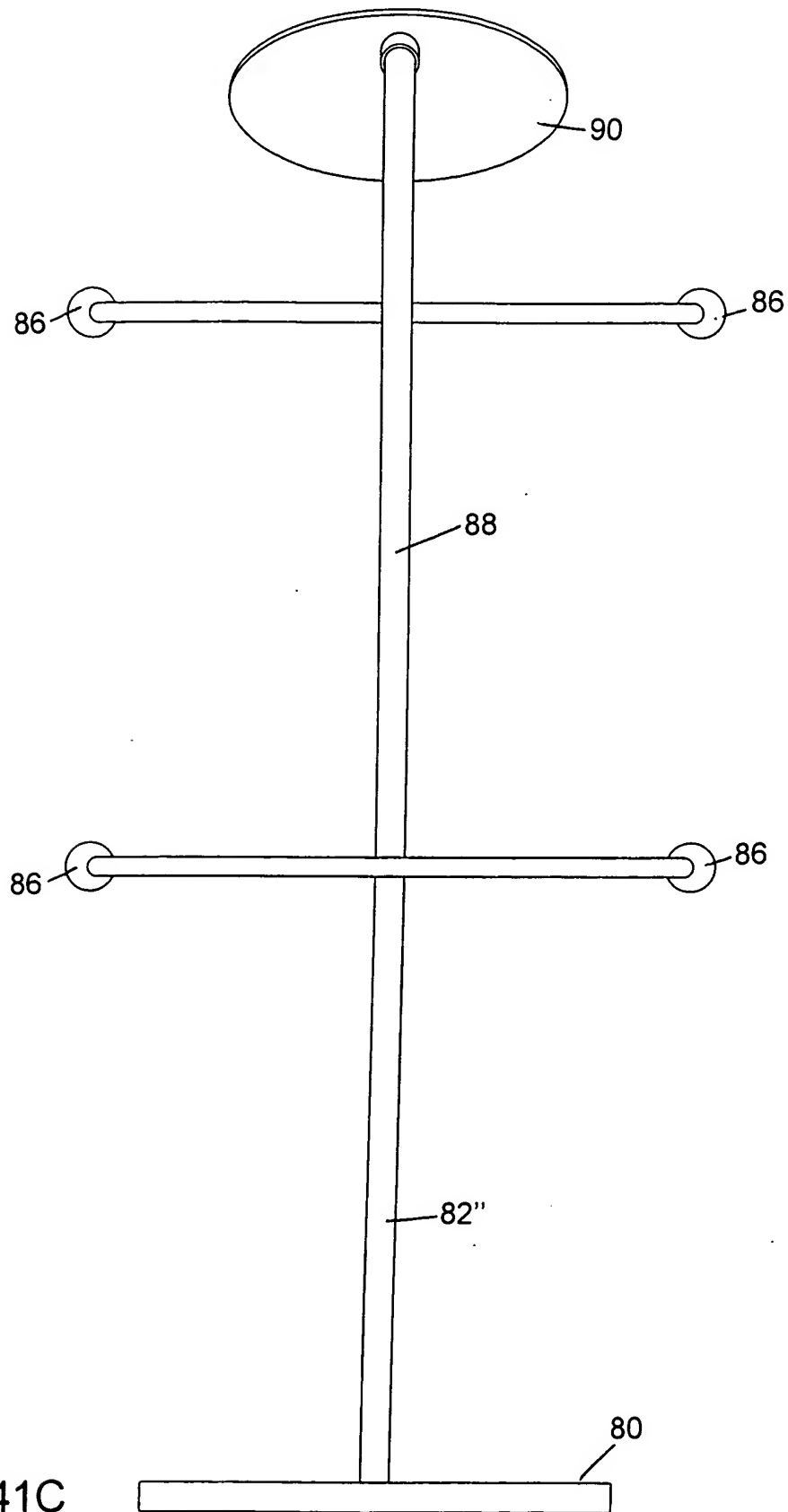
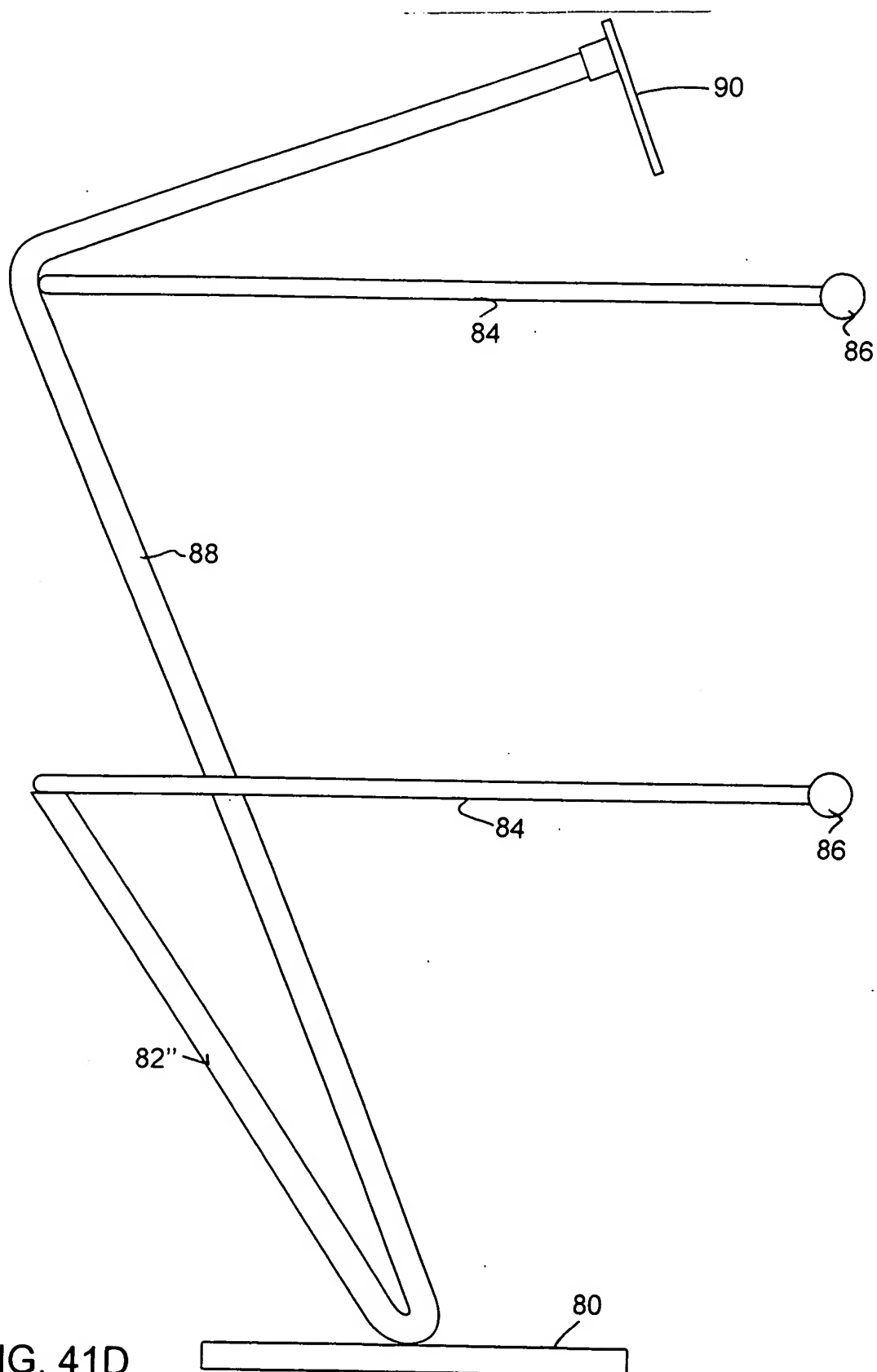


FIG. 41



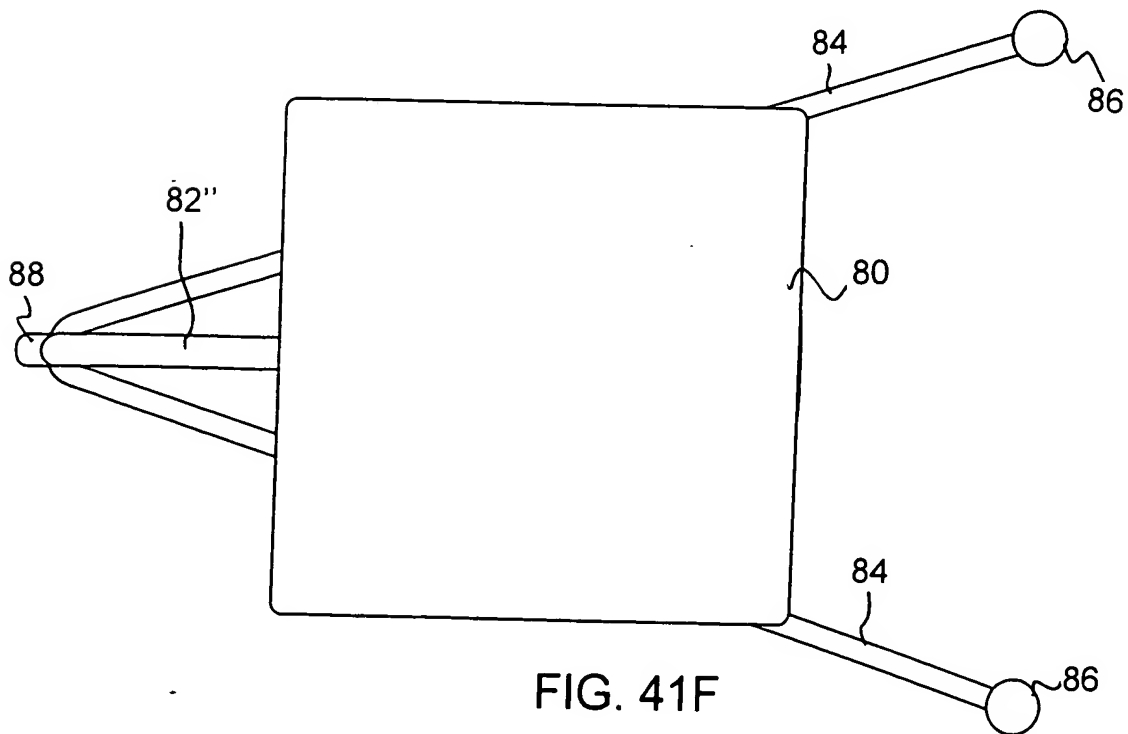
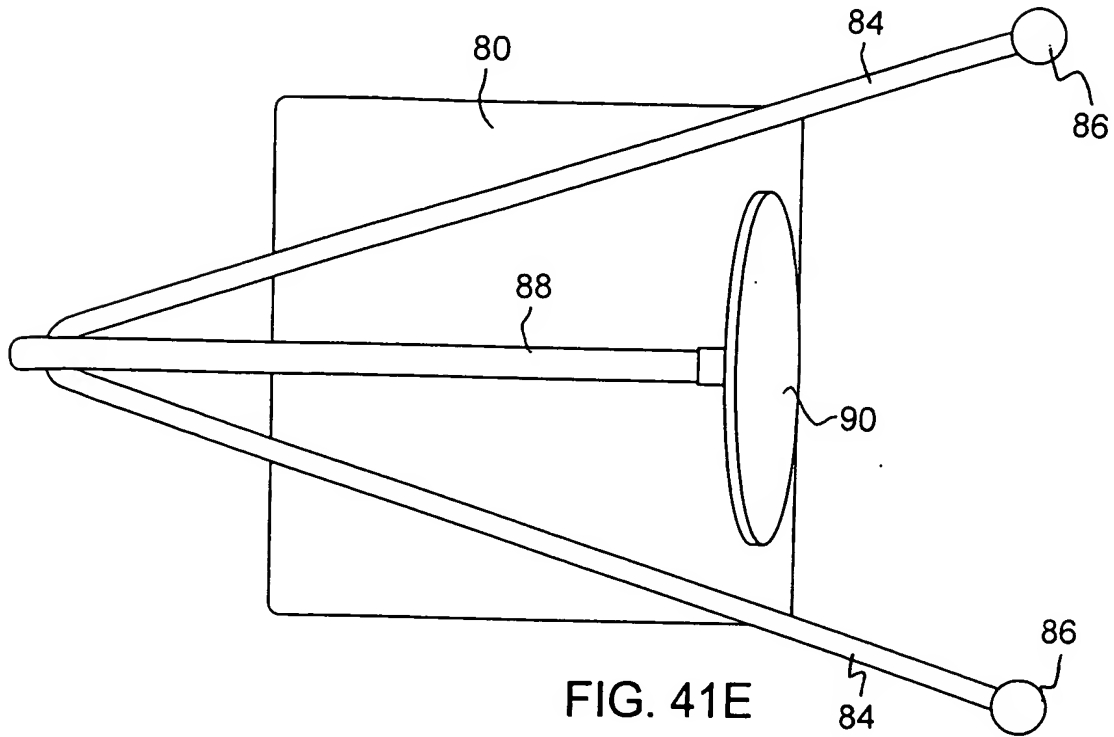






Appin No.: 10/052,210

Page 39 of 47

Applicant(s): Jeffrey T. Mannion et al.  
SUSPENDED CONTAINERS

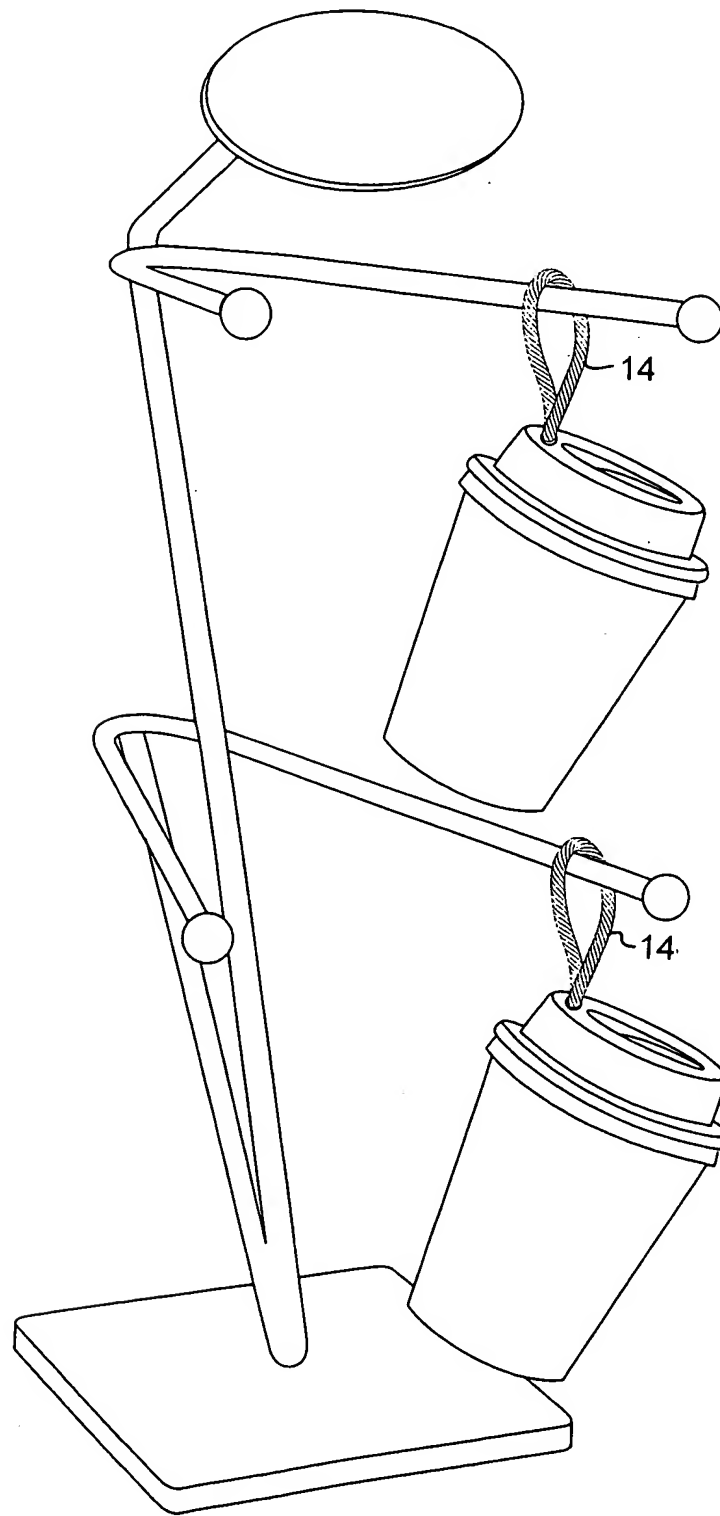


FIG. 42



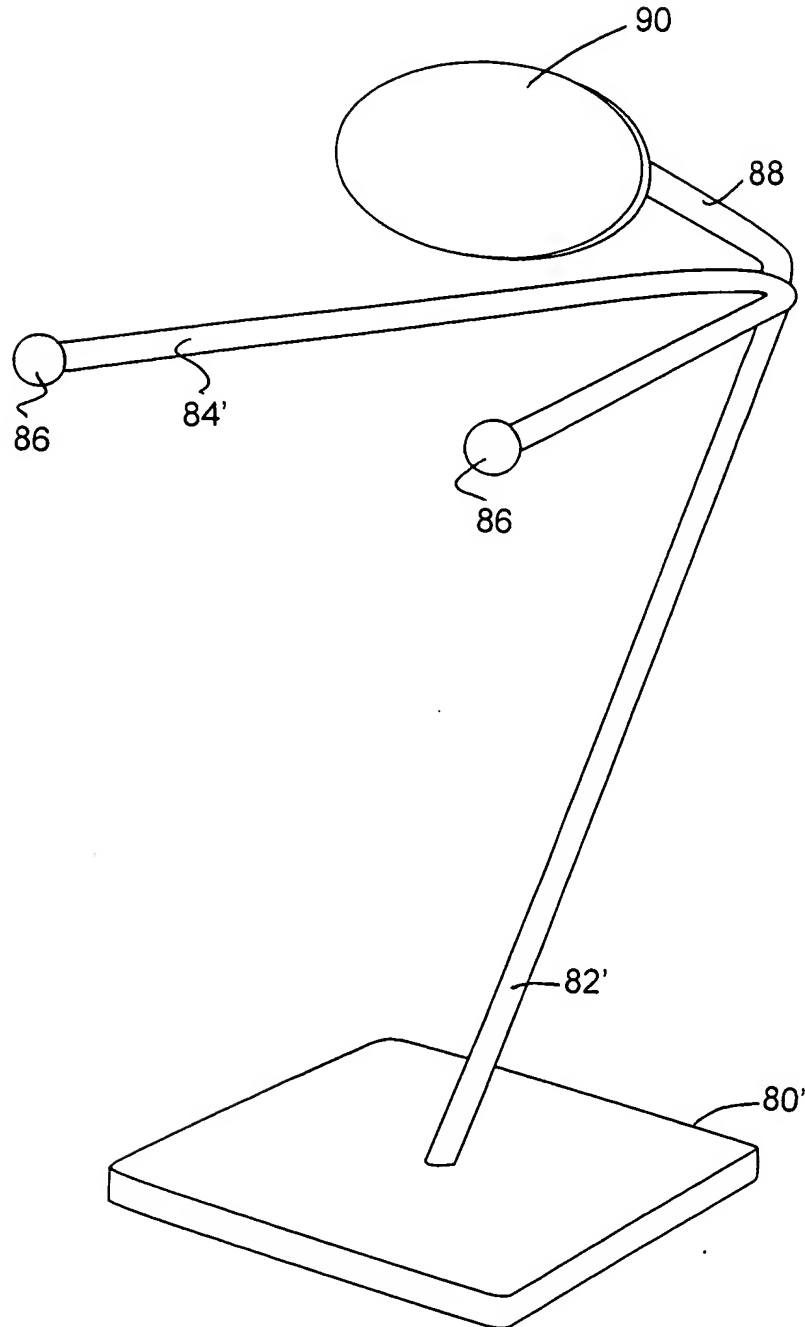


FIG. 43

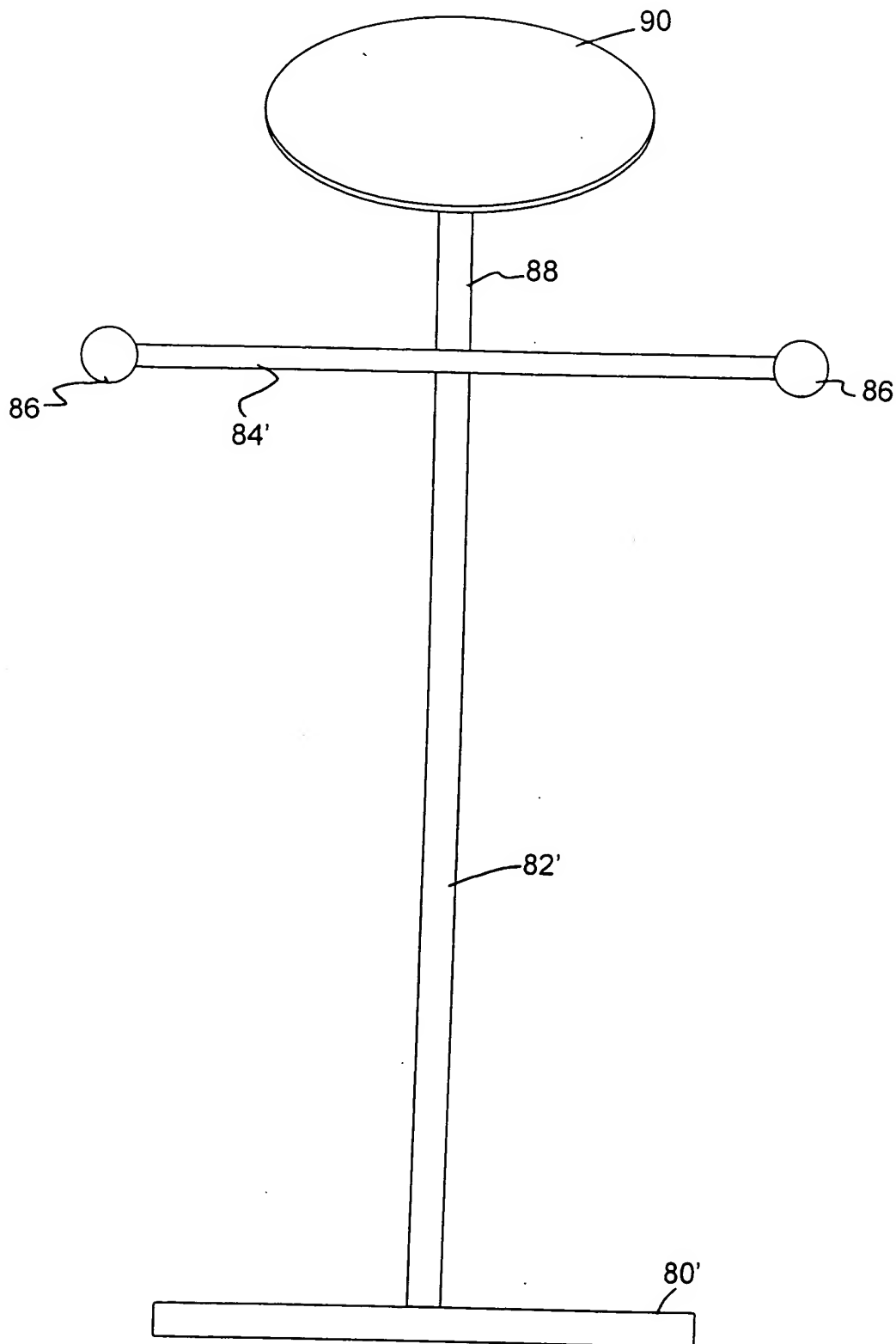


FIG. 43A

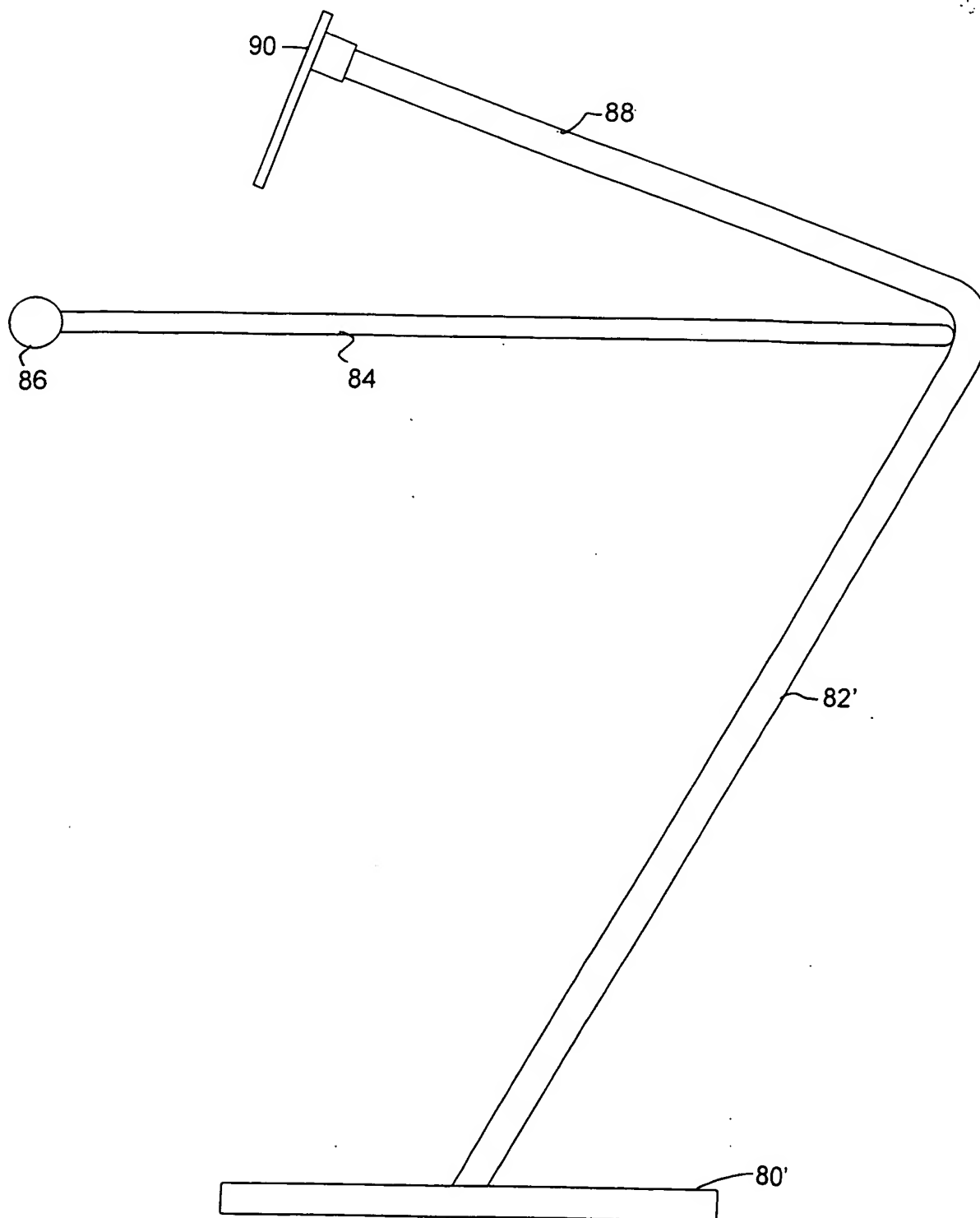


FIG. 43B

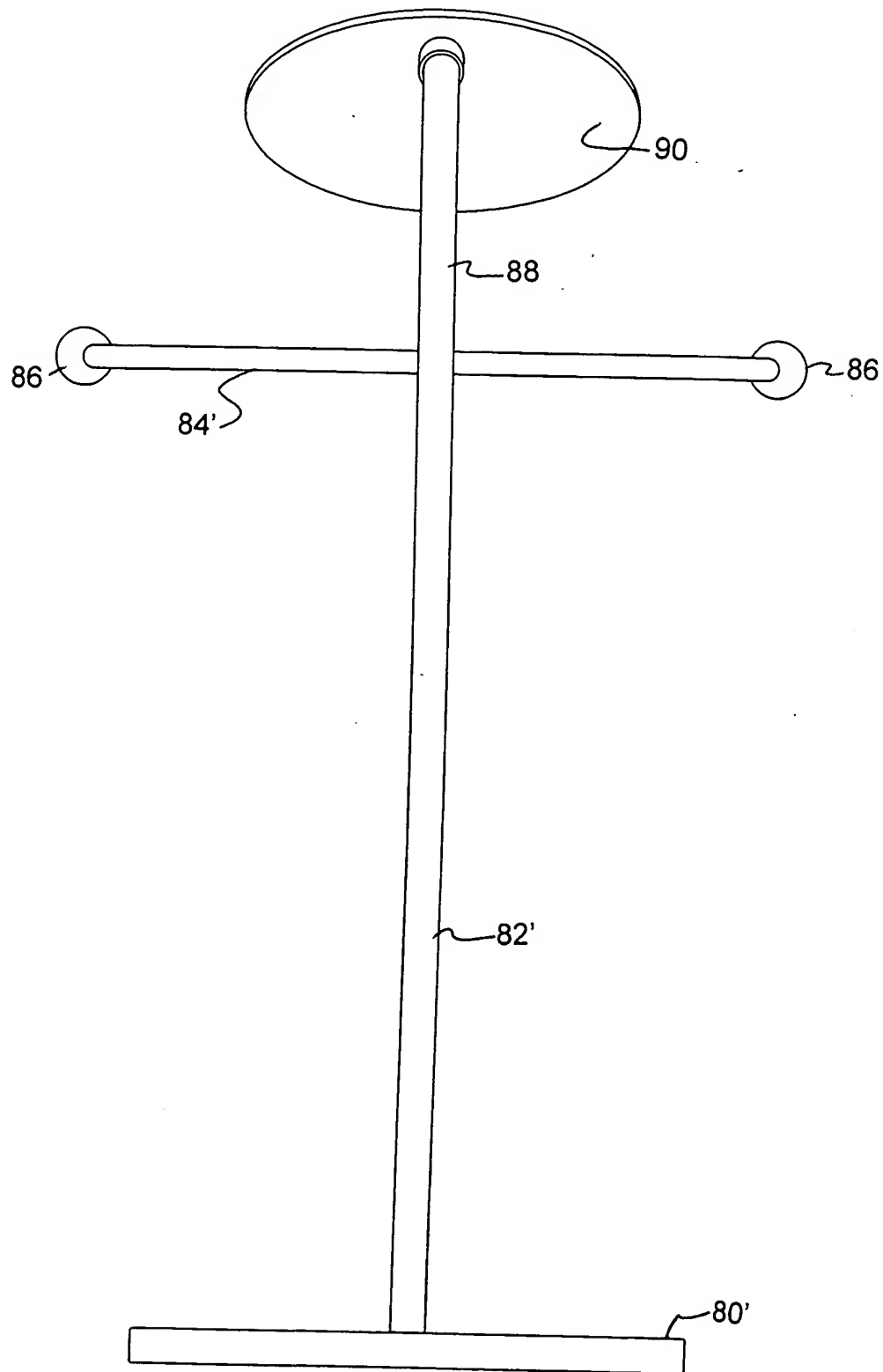


FIG. 43C

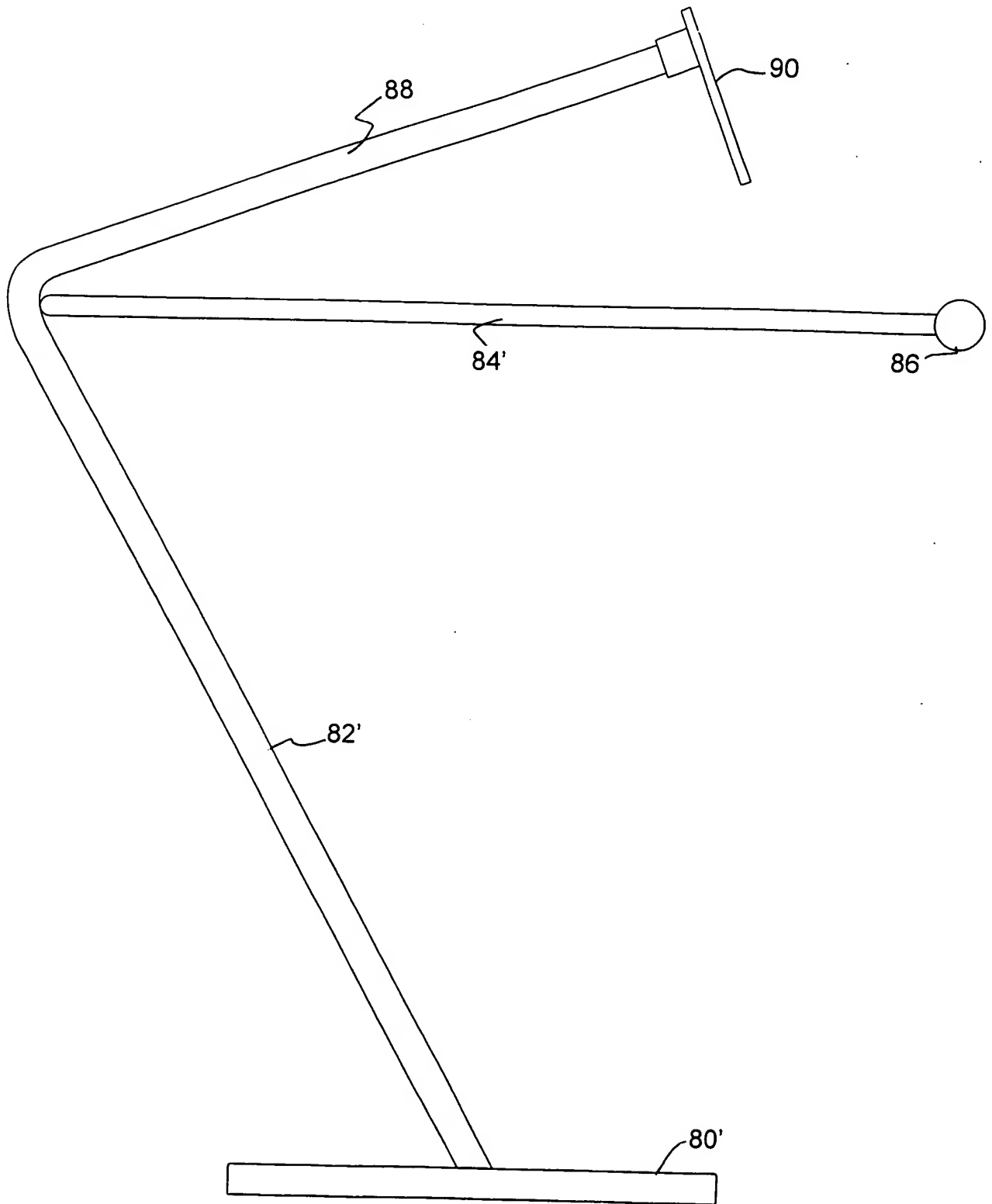


FIG. 43D

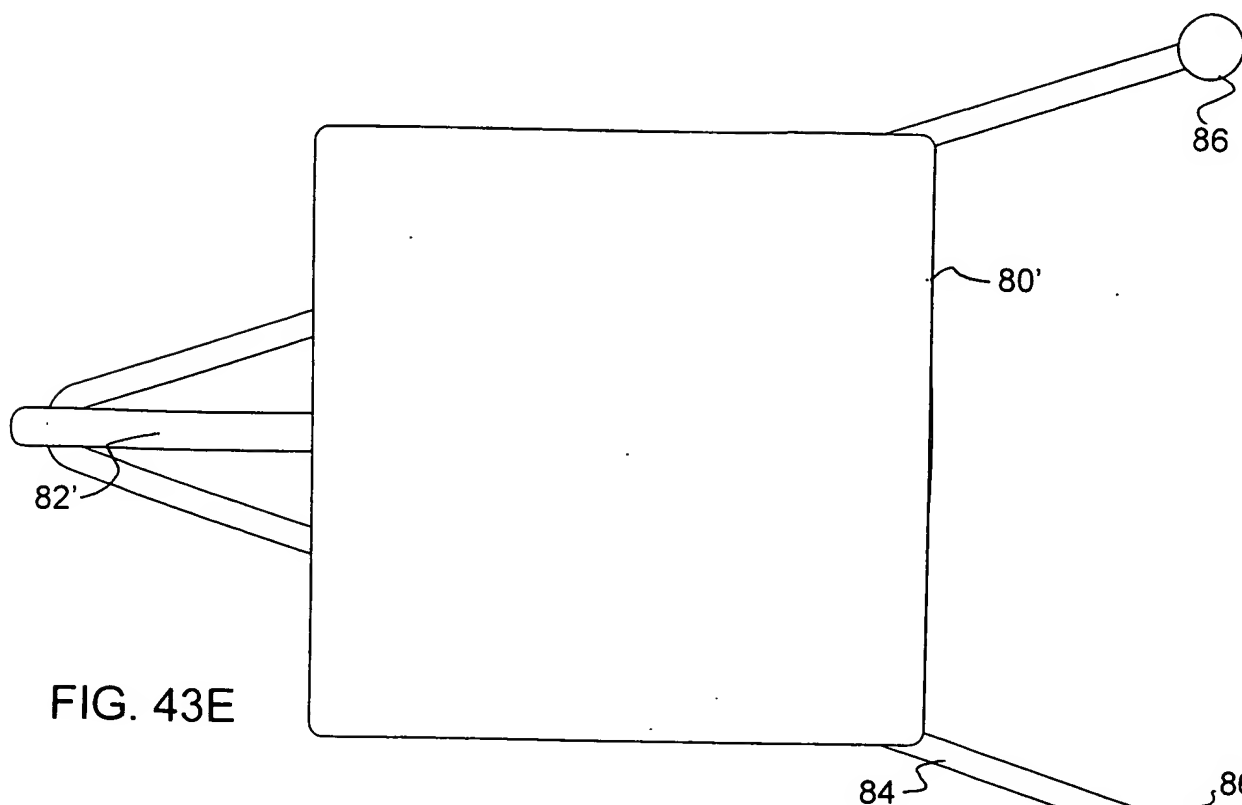


FIG. 43E

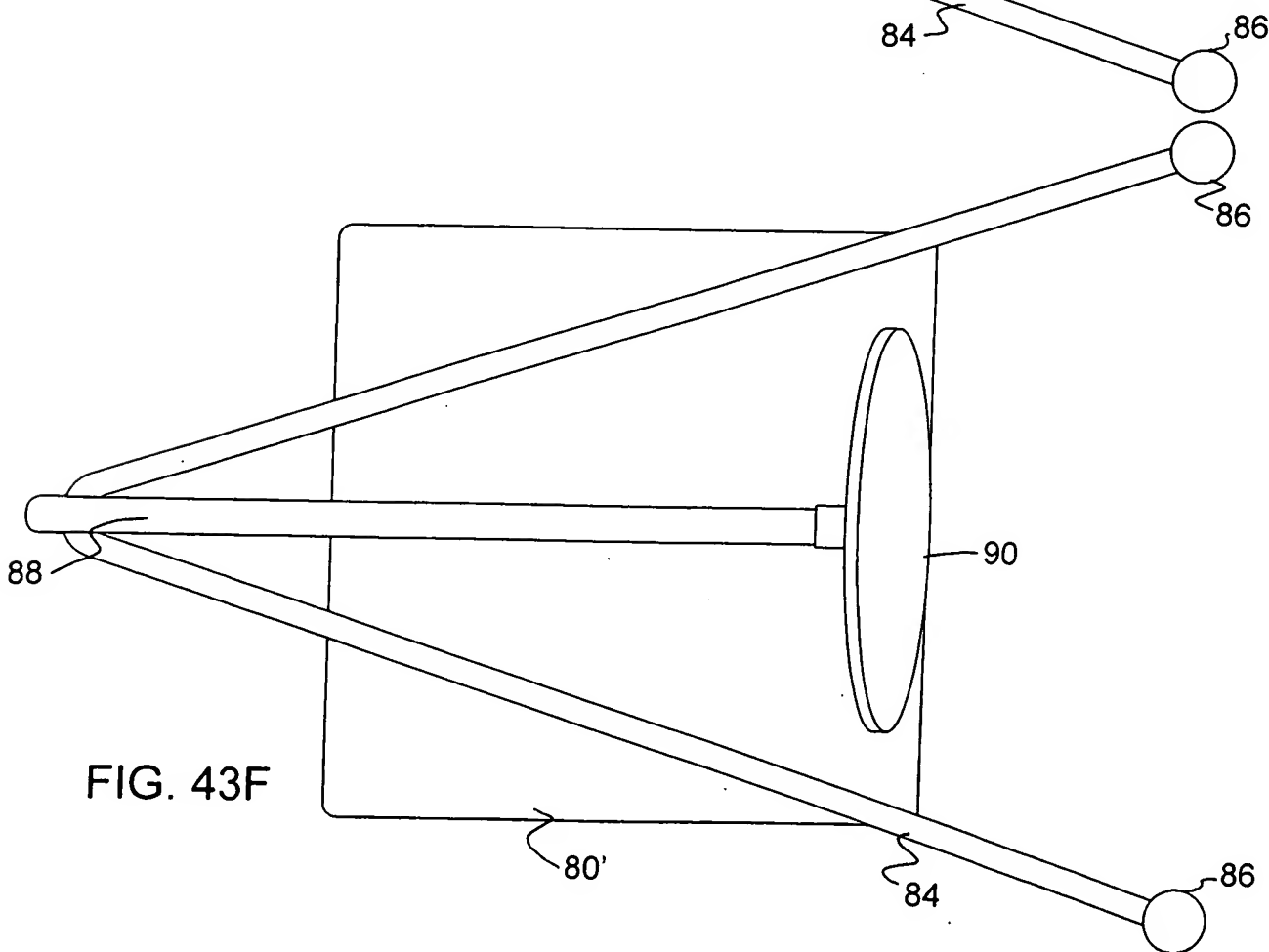


FIG. 43F

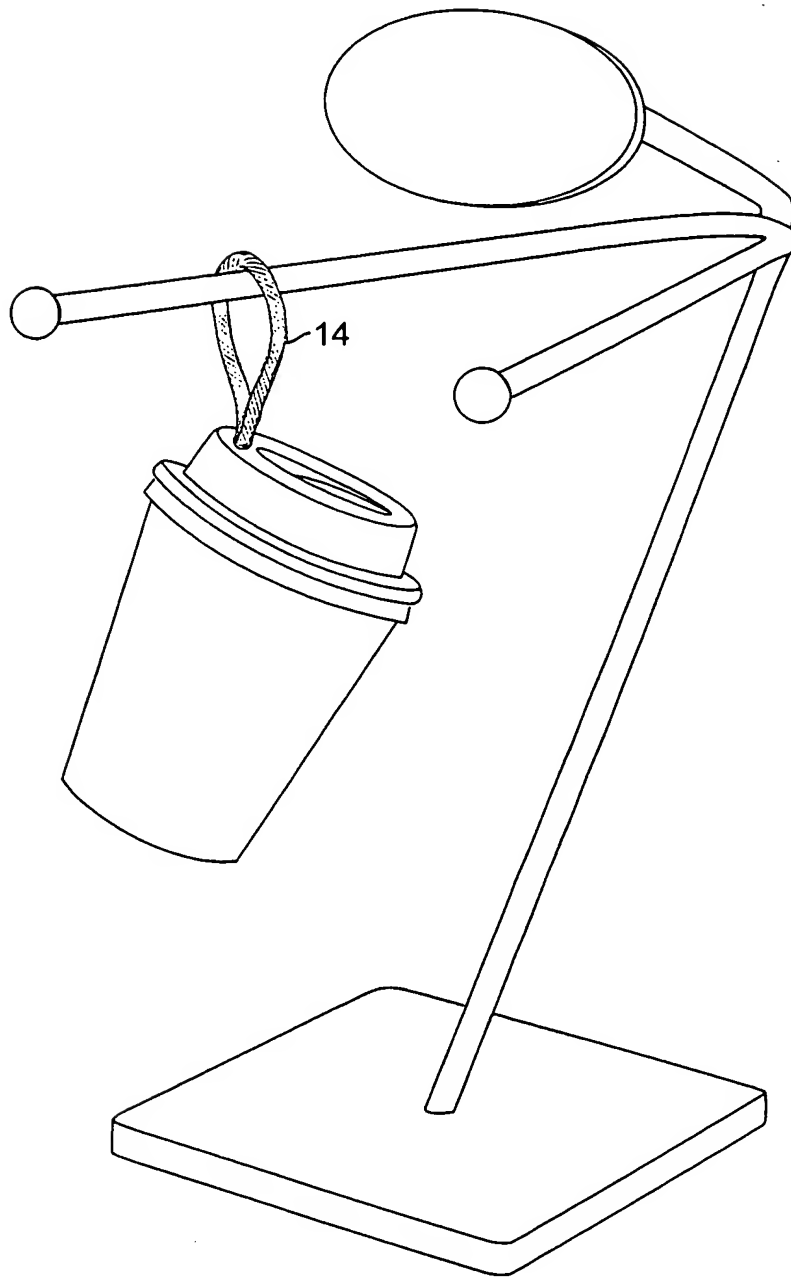


FIG. 44